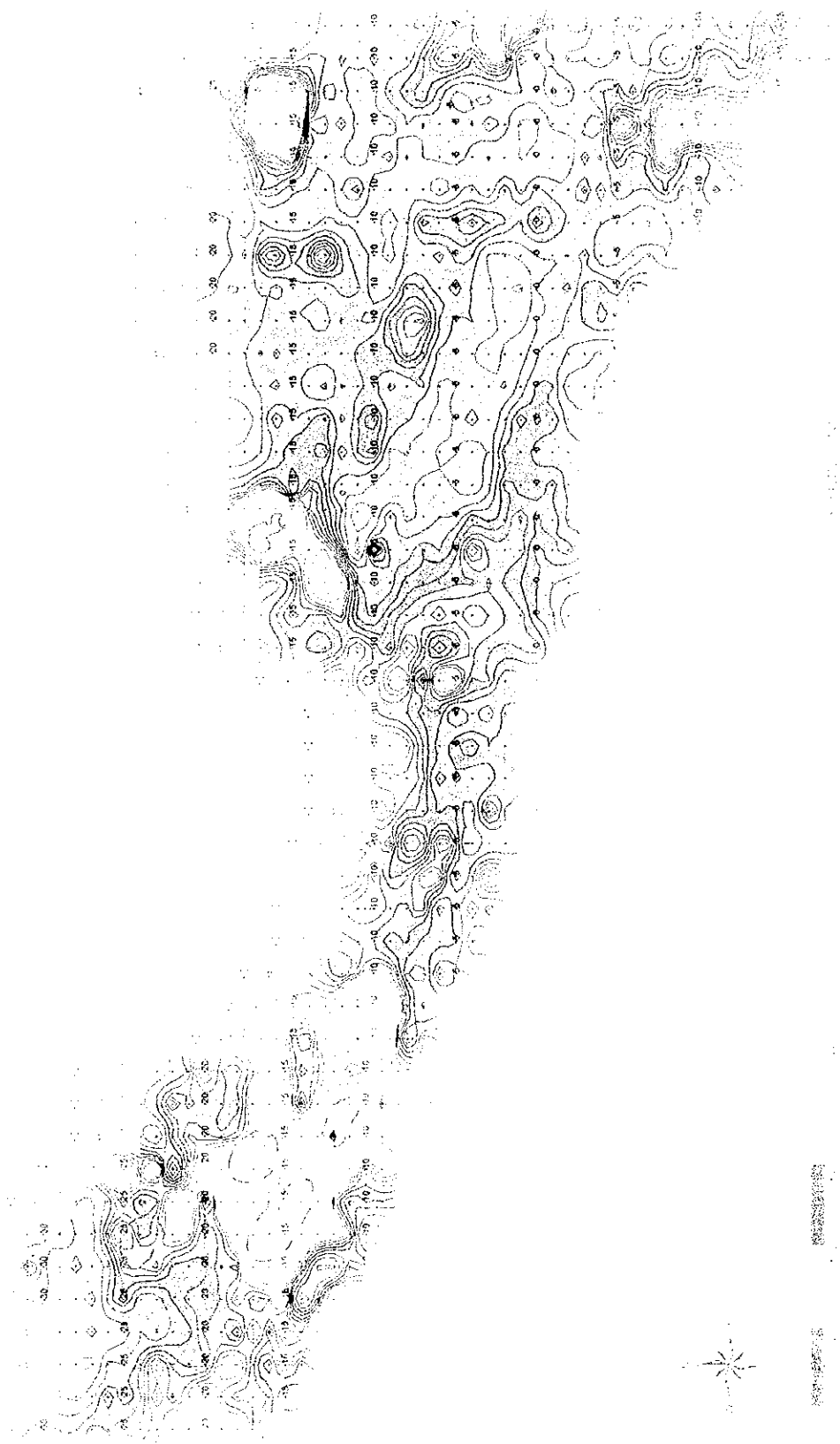


Fig. II -5-13(3) Metal factor plane map for N=2



Fig. II-5-133) Metal factor plane map for N-2

1950 1:25,000



1950 1:25,000



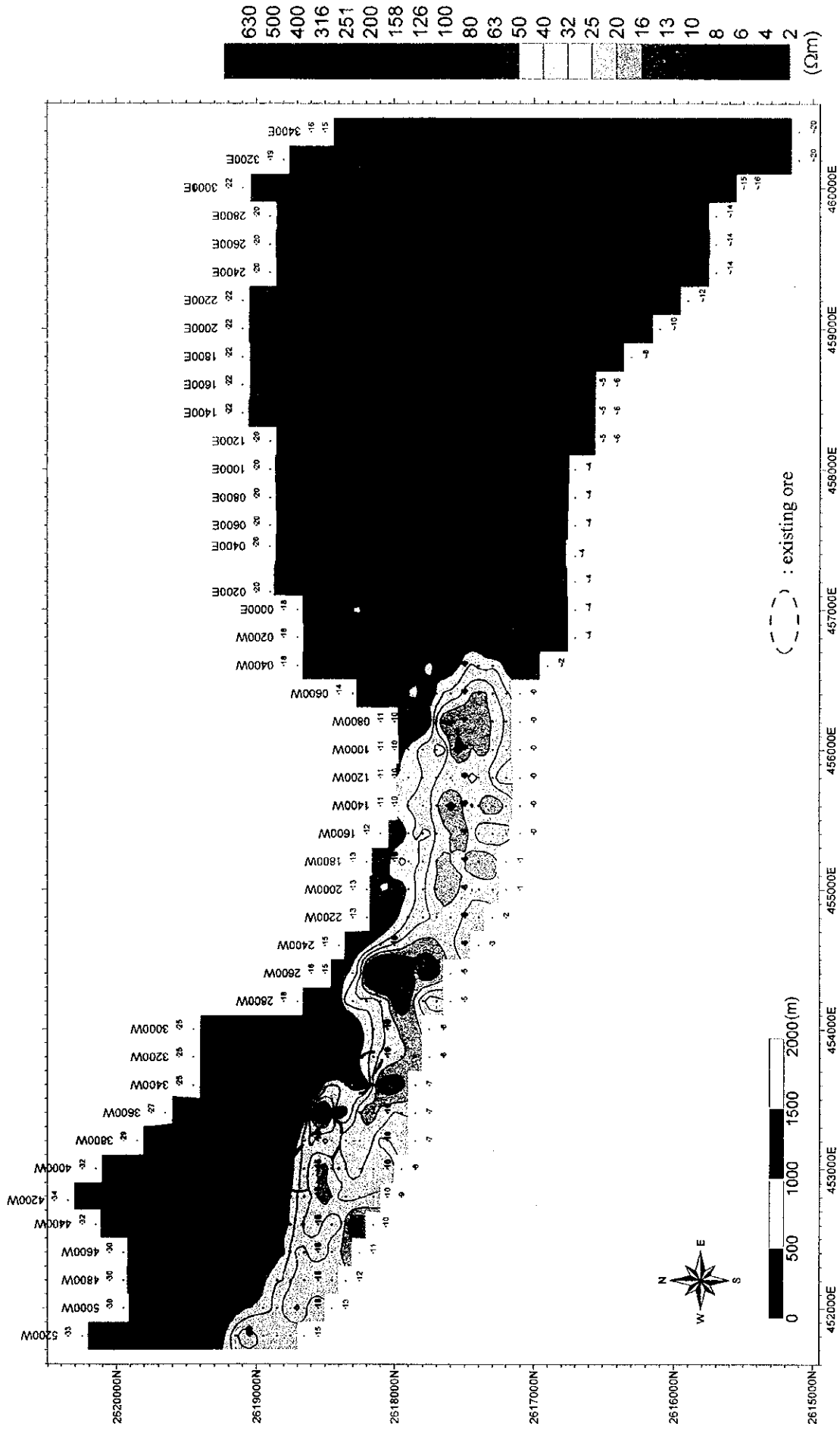


Fig. II -5-14(1) Apparent resistivity plane map for N=3

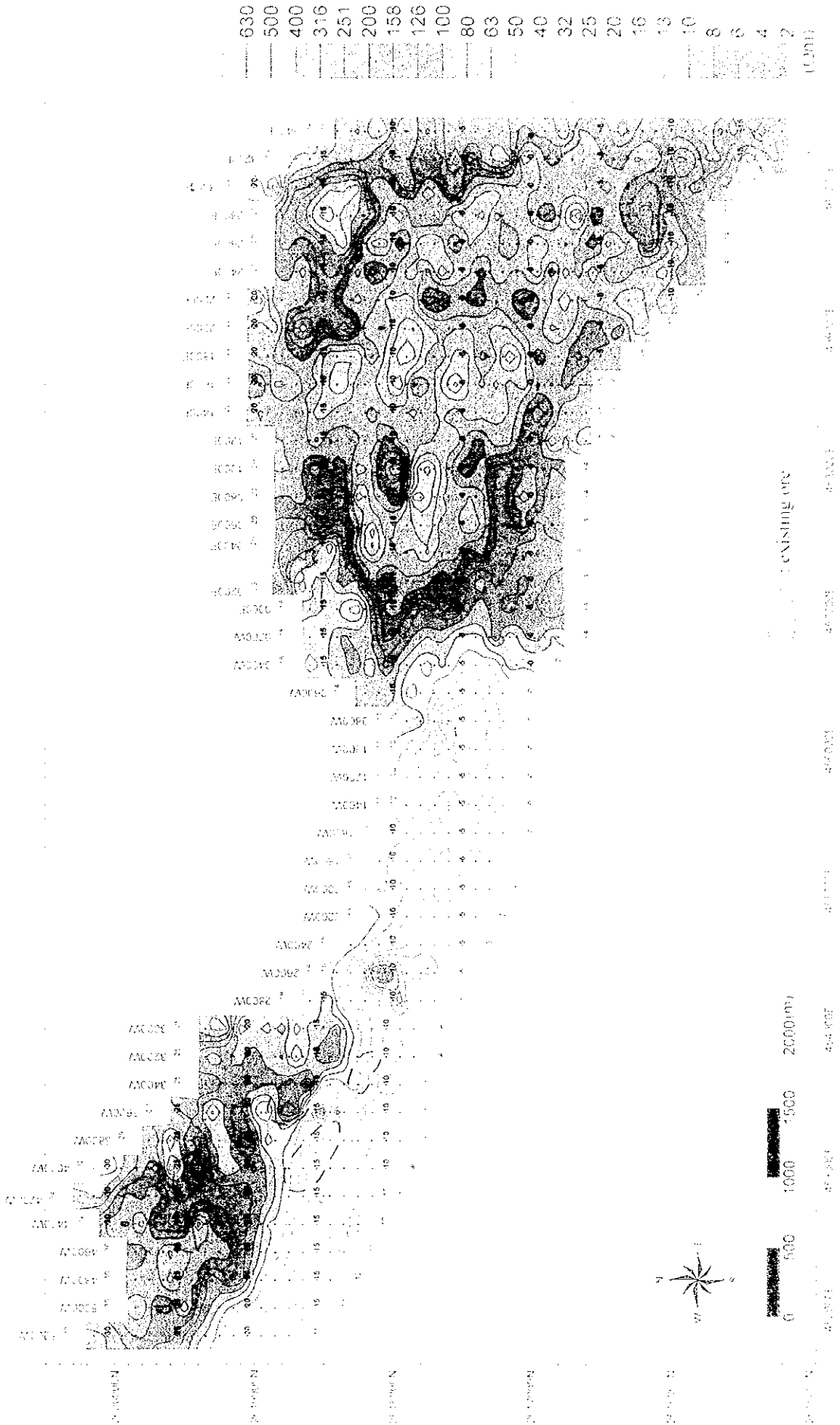
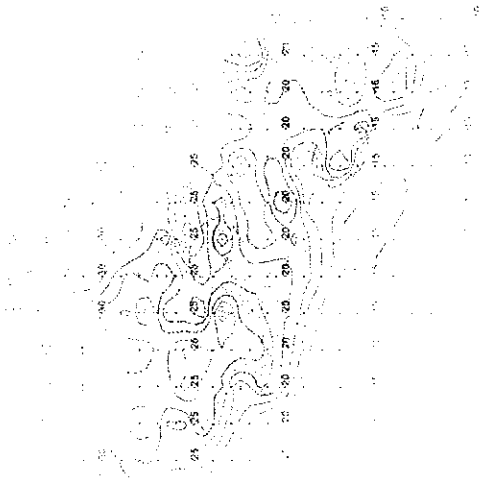
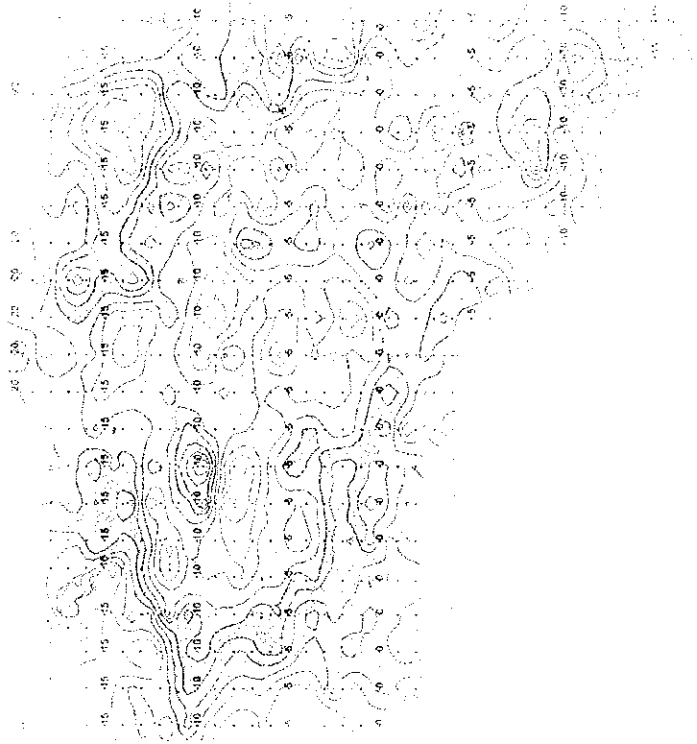


Fig. II-5-14(1) Apparent resistivity plane map for N-3

1:50,000



Scale: 1:50,000

Scale: 1:50,000



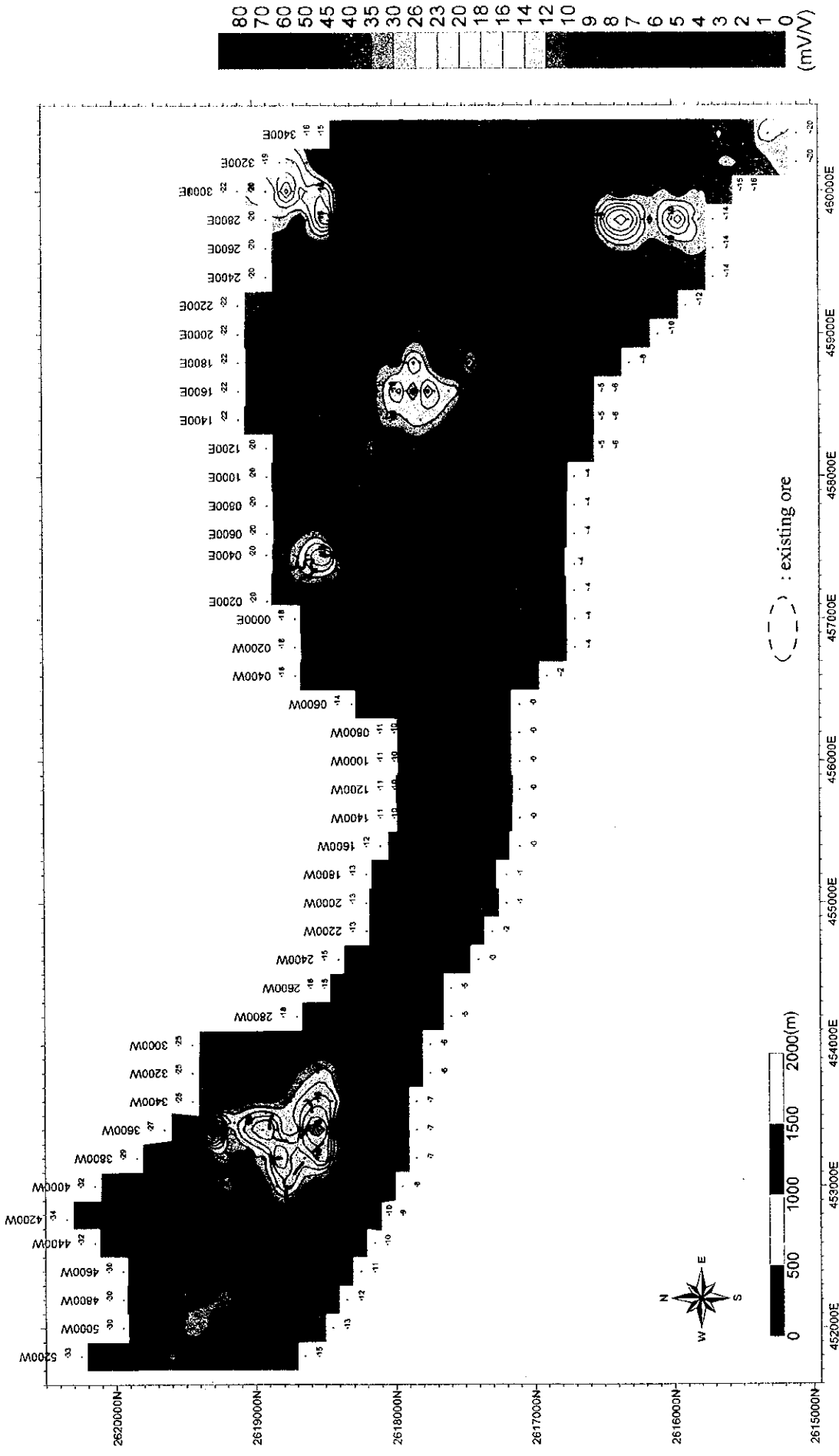


Fig. II -5-14(2) Chargeability plane map for N=3

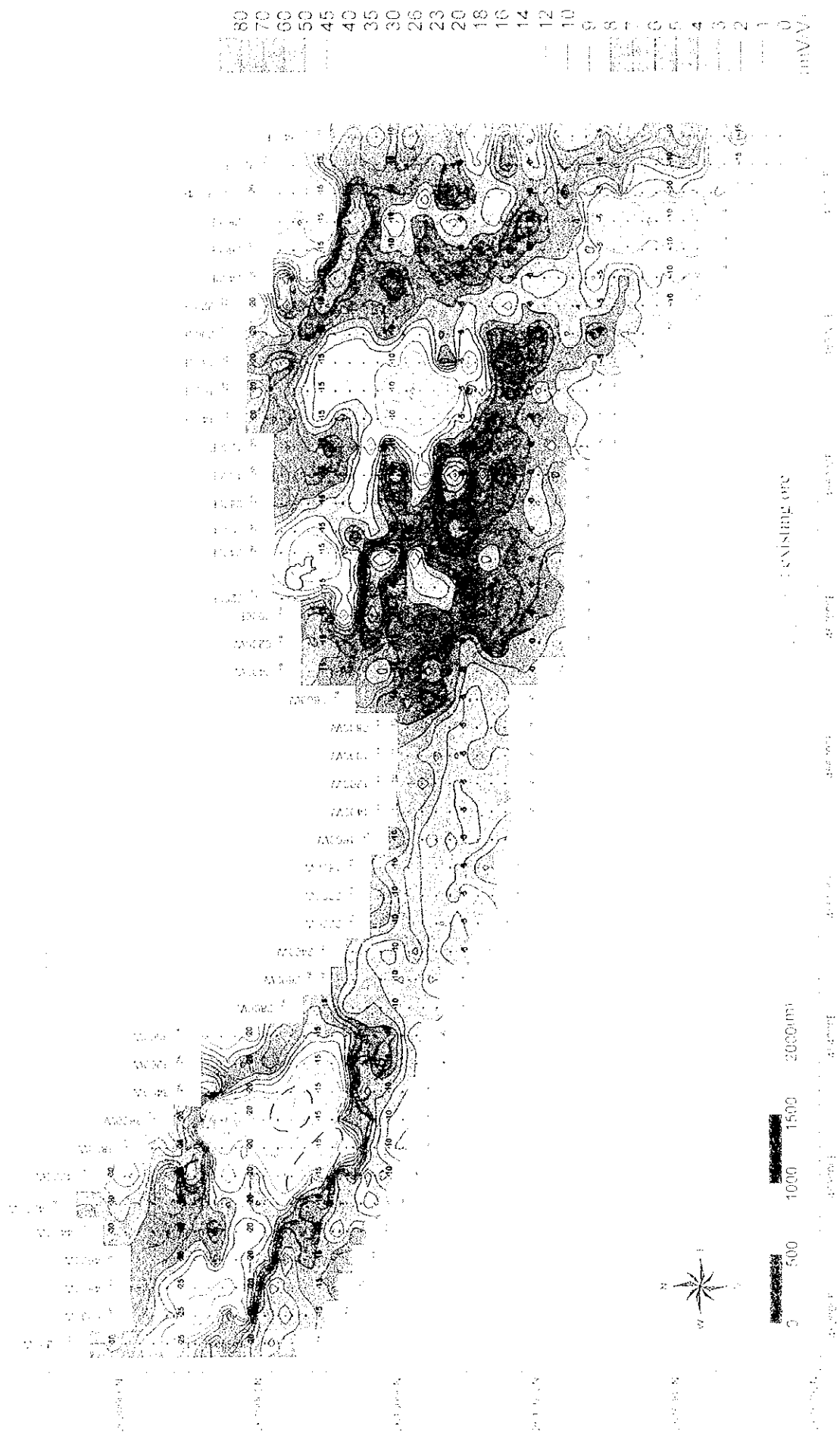
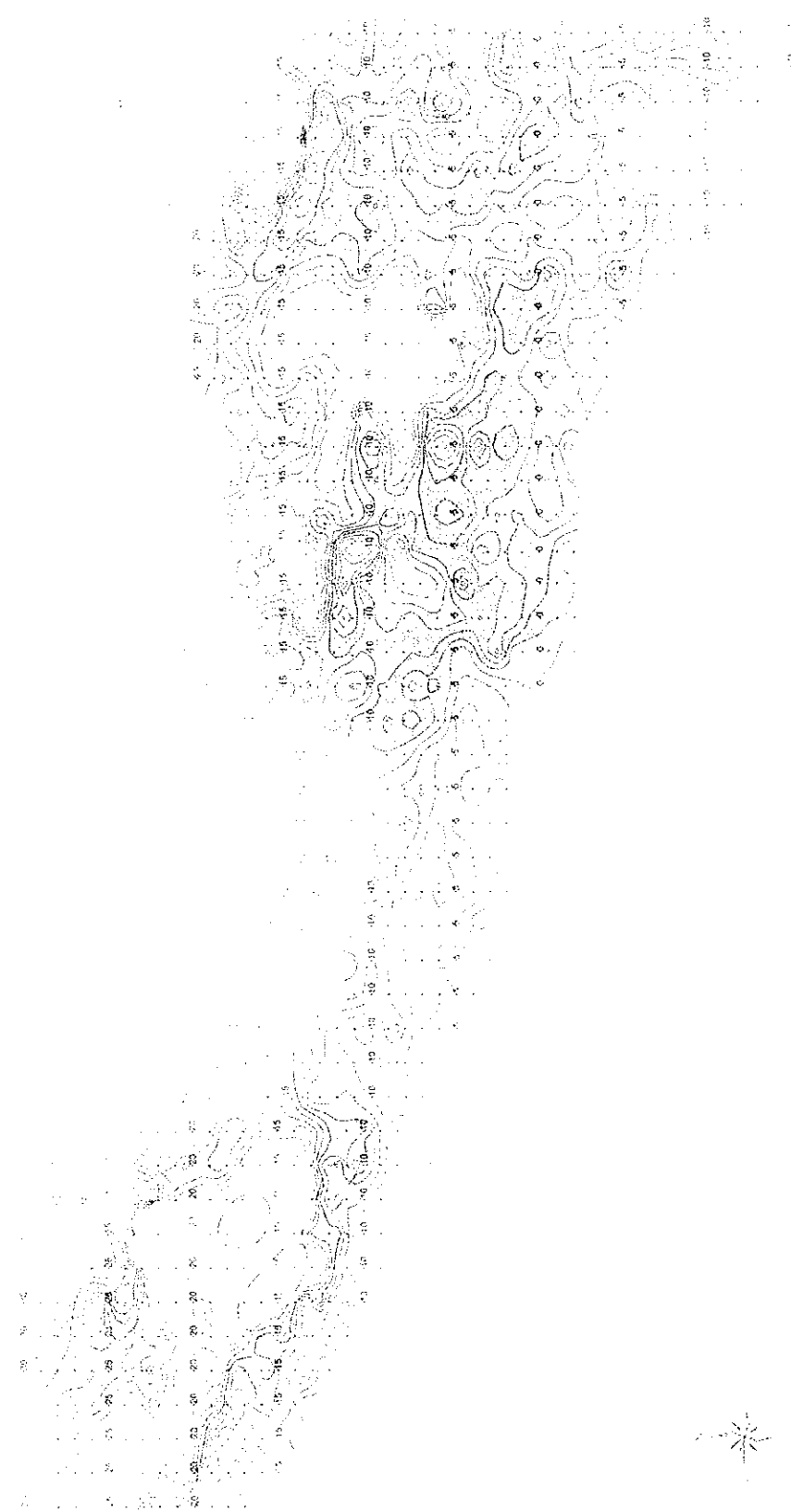


Fig. II-5-142) Chargeability plane map for N-3

1:25,000



1:25,000

1:25,000



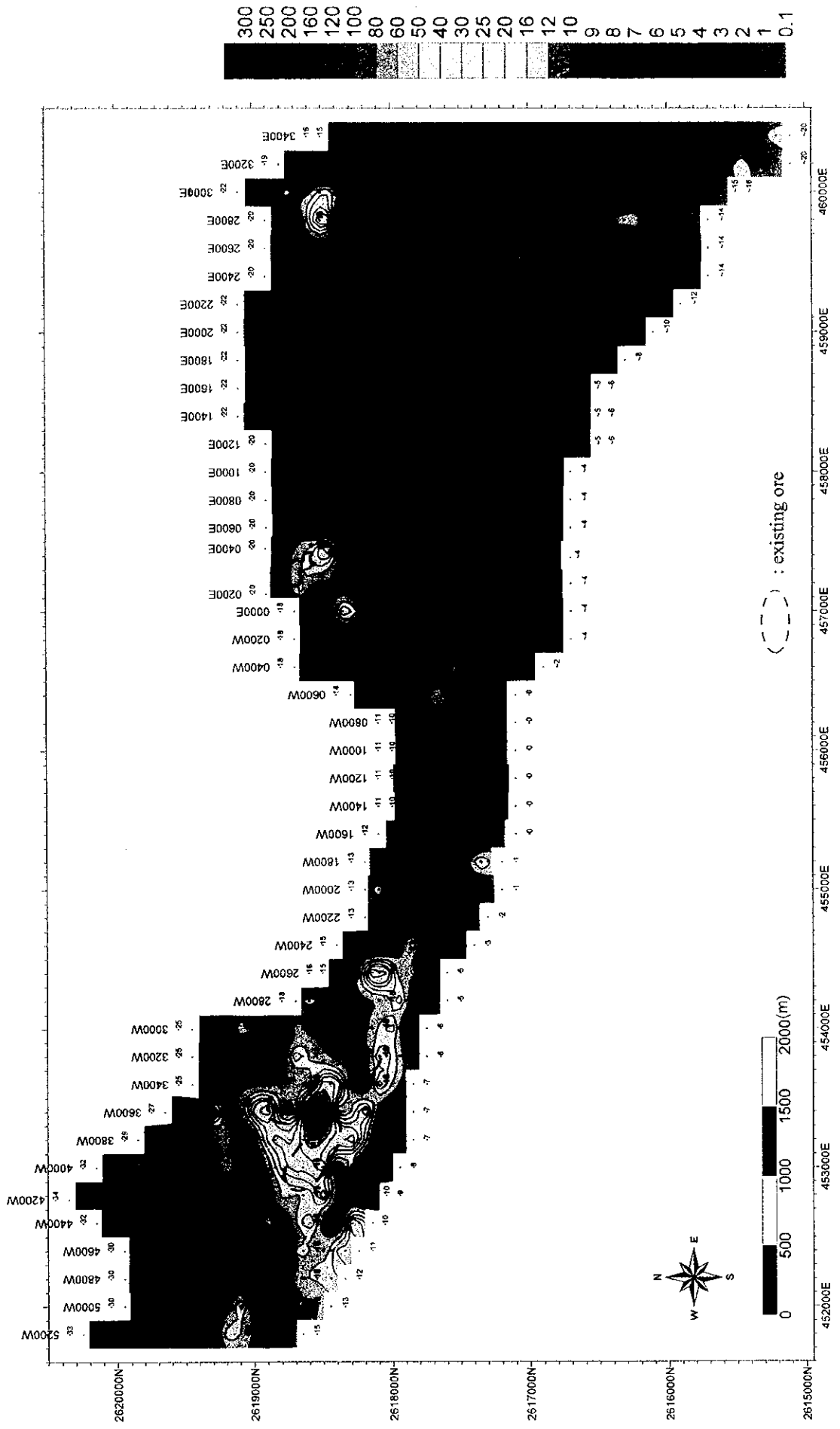


Fig. II -5-14(3) Metal factor plane map for N=3

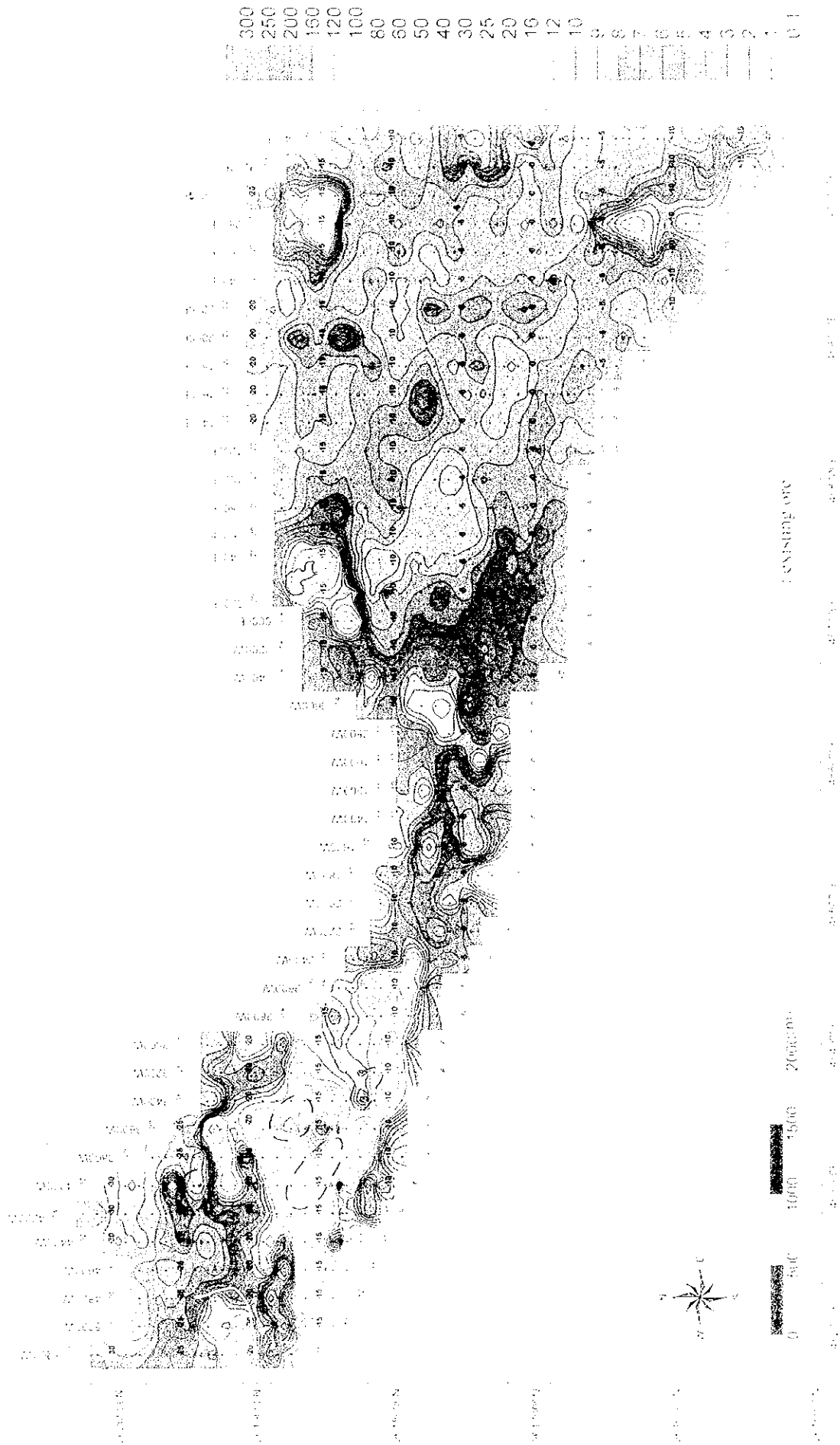


Fig. II-5-148) Metal factor plane map for N. S.





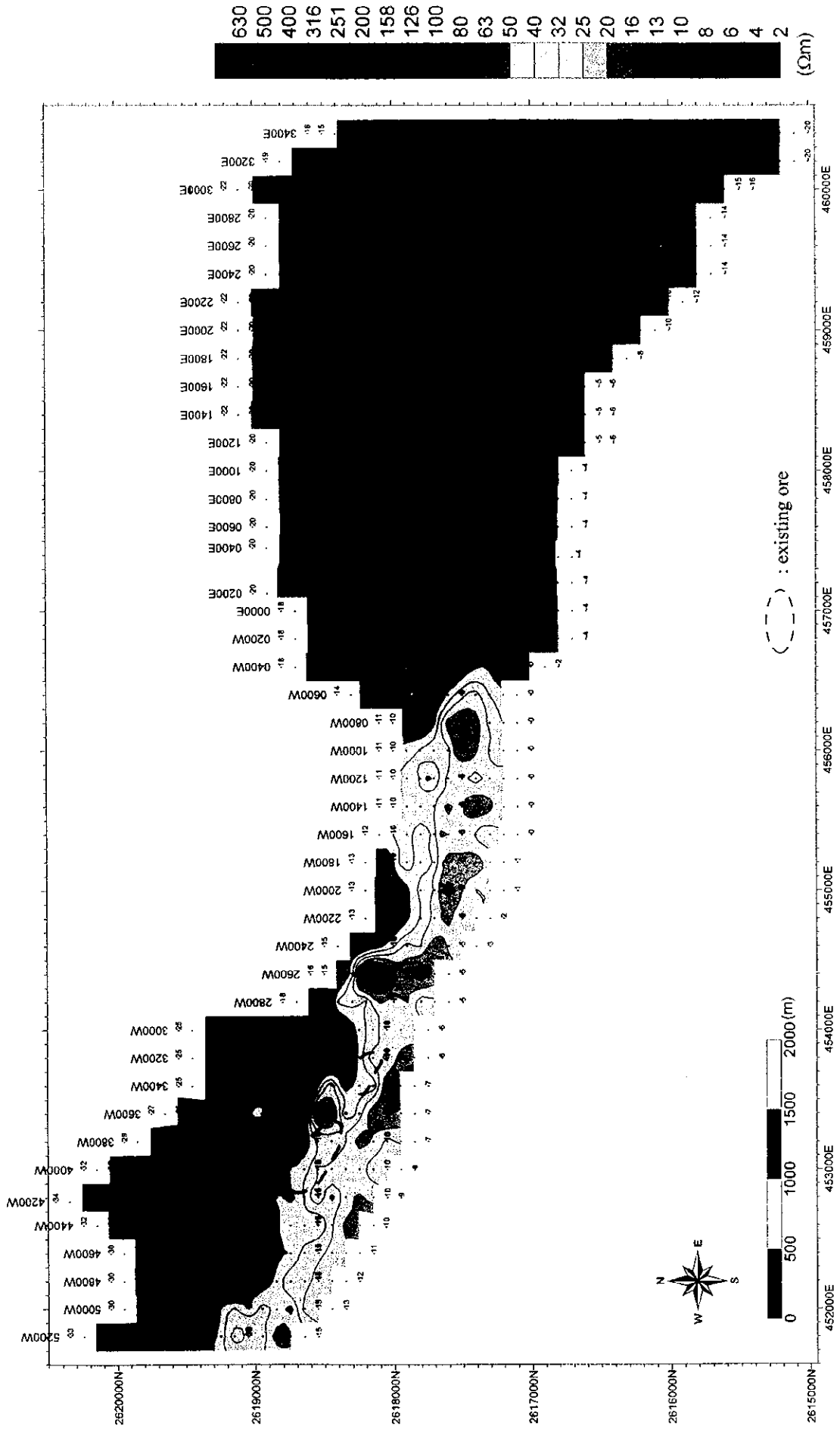


Fig. II-5-15(1) Apparent resistivity plane map for N=4

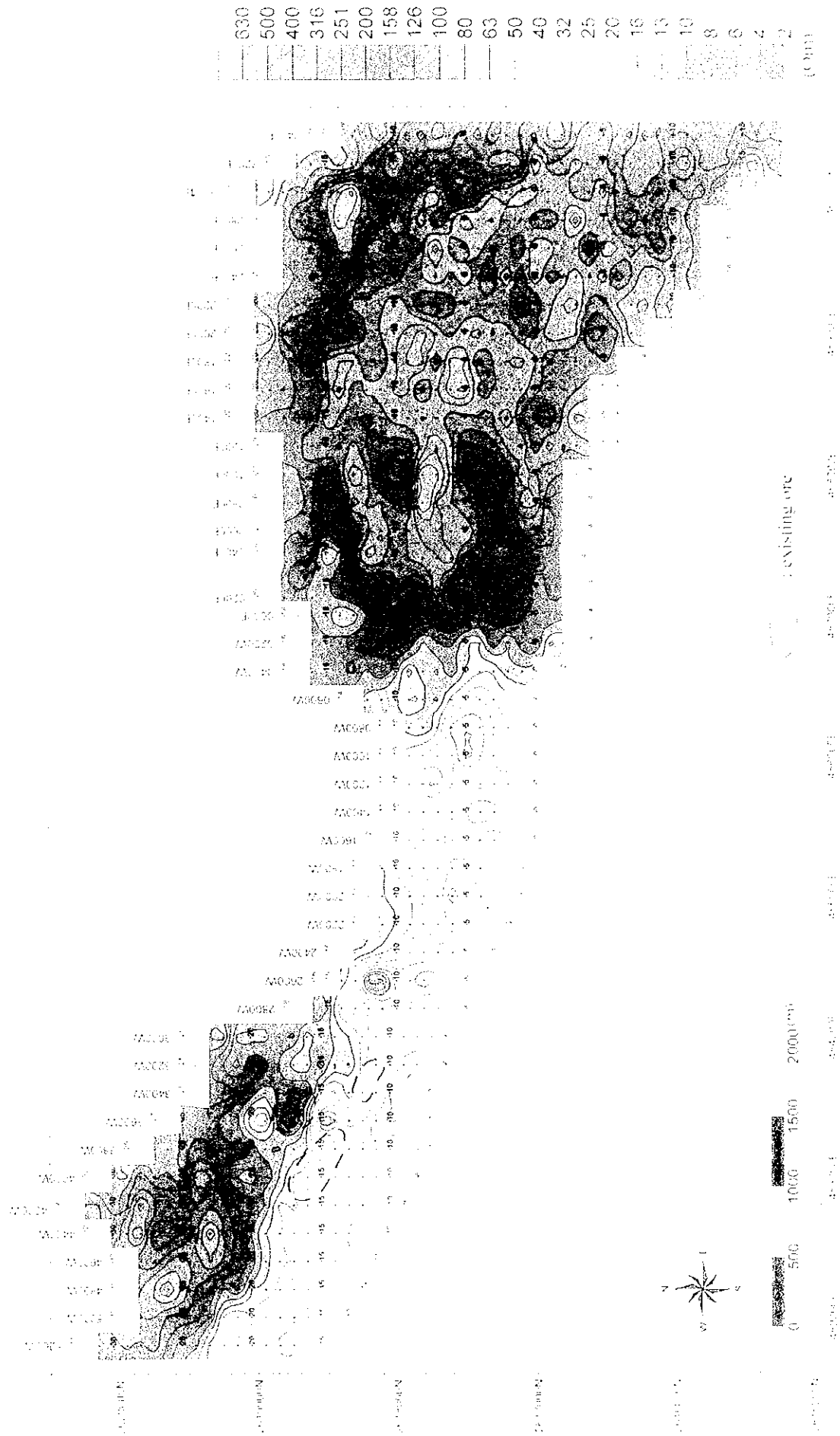
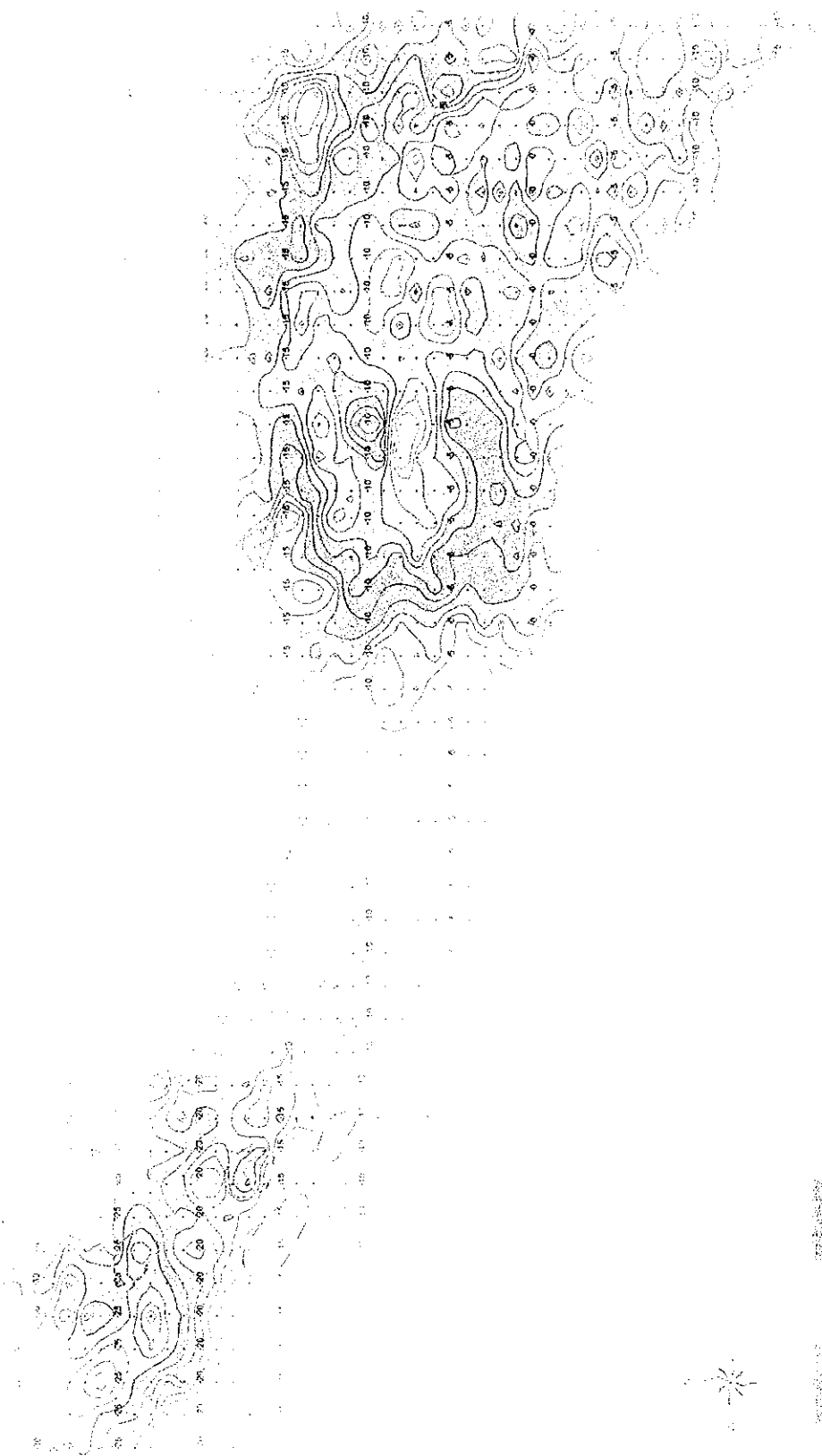


Fig. II-8-15(1) Apparent resistivity plane map for N-4

Figure 1





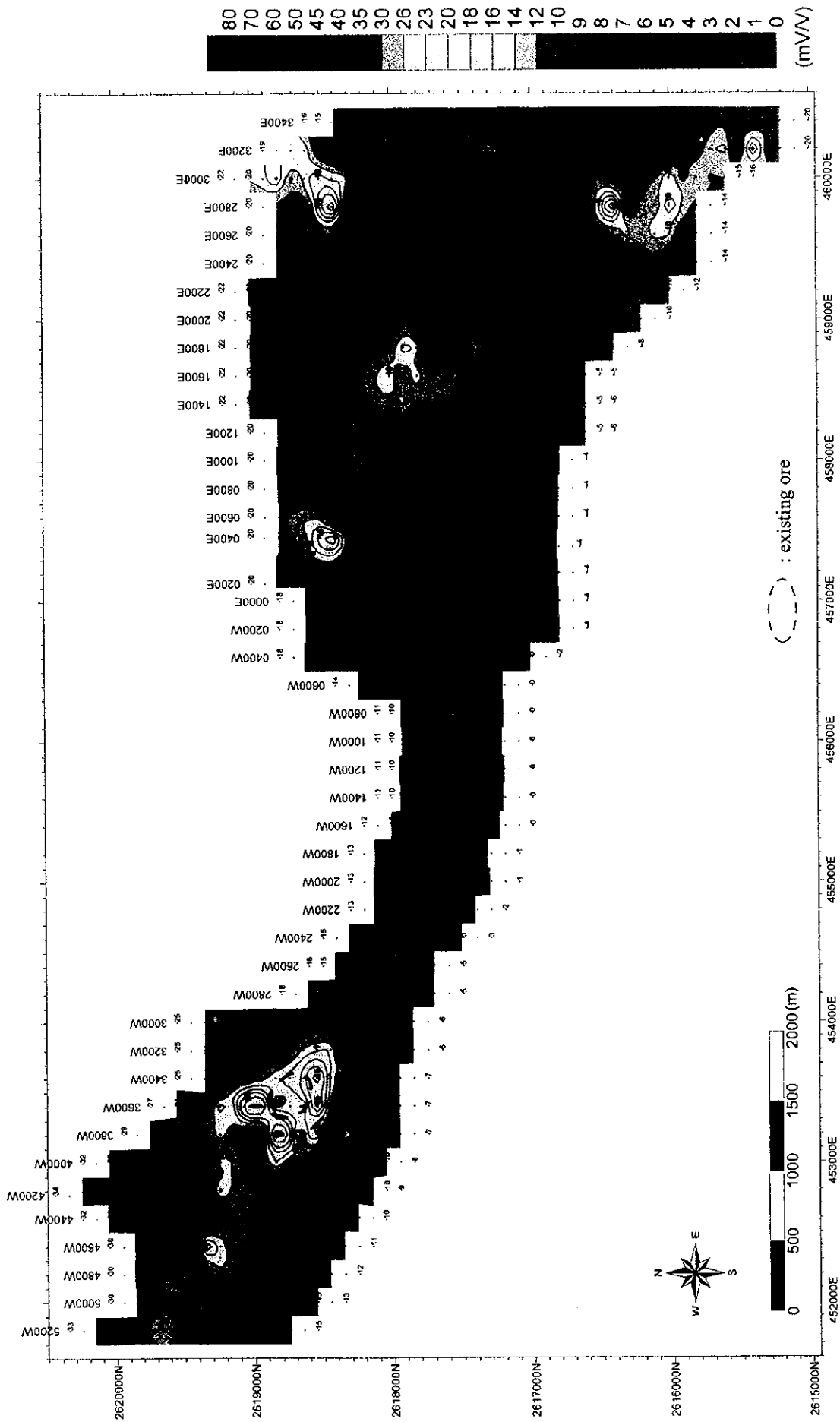


Fig. II -5-15(2) Chargeability plane map for N=4

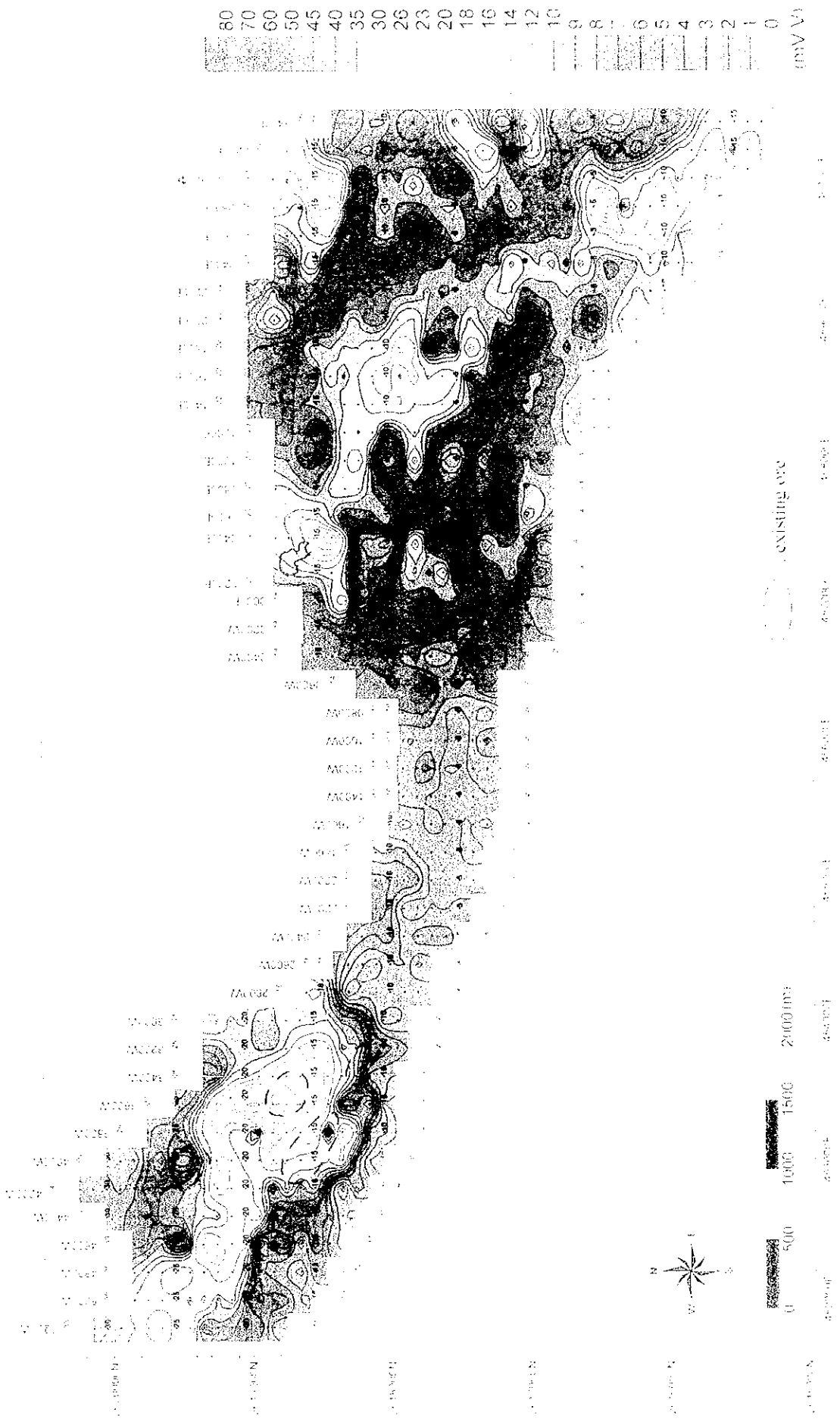


Fig. II-5-15(2) Chargeability plane map for N-4



1:25,000

U.S. Geological Survey



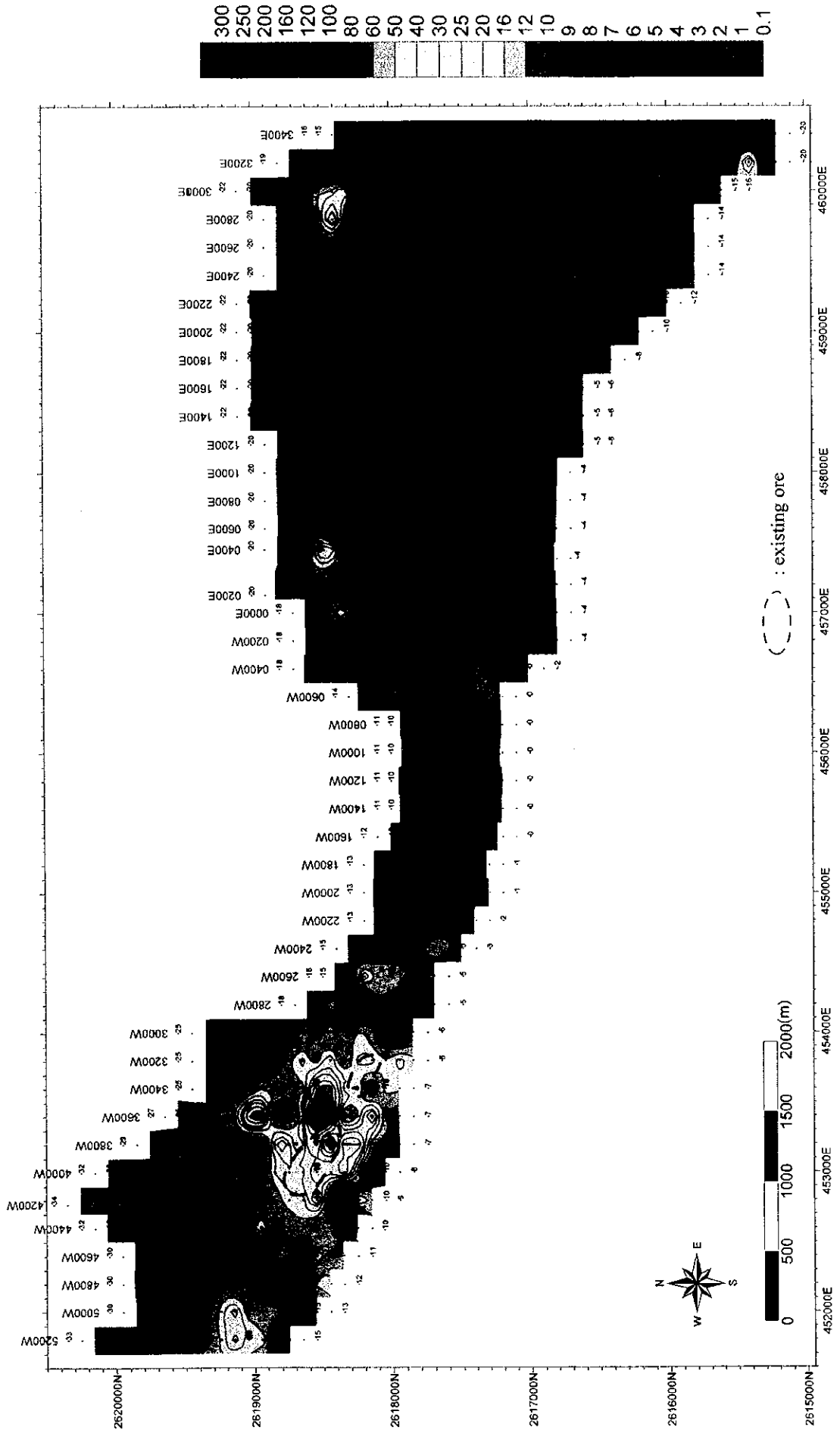


Fig. II -5-15(3) Metal factor plane map for N=4



Fig. II-5-15(3) Metal factor plane map for N-4

1:250,000



1:250,000

1:250,000

1:250,000

1:250,000





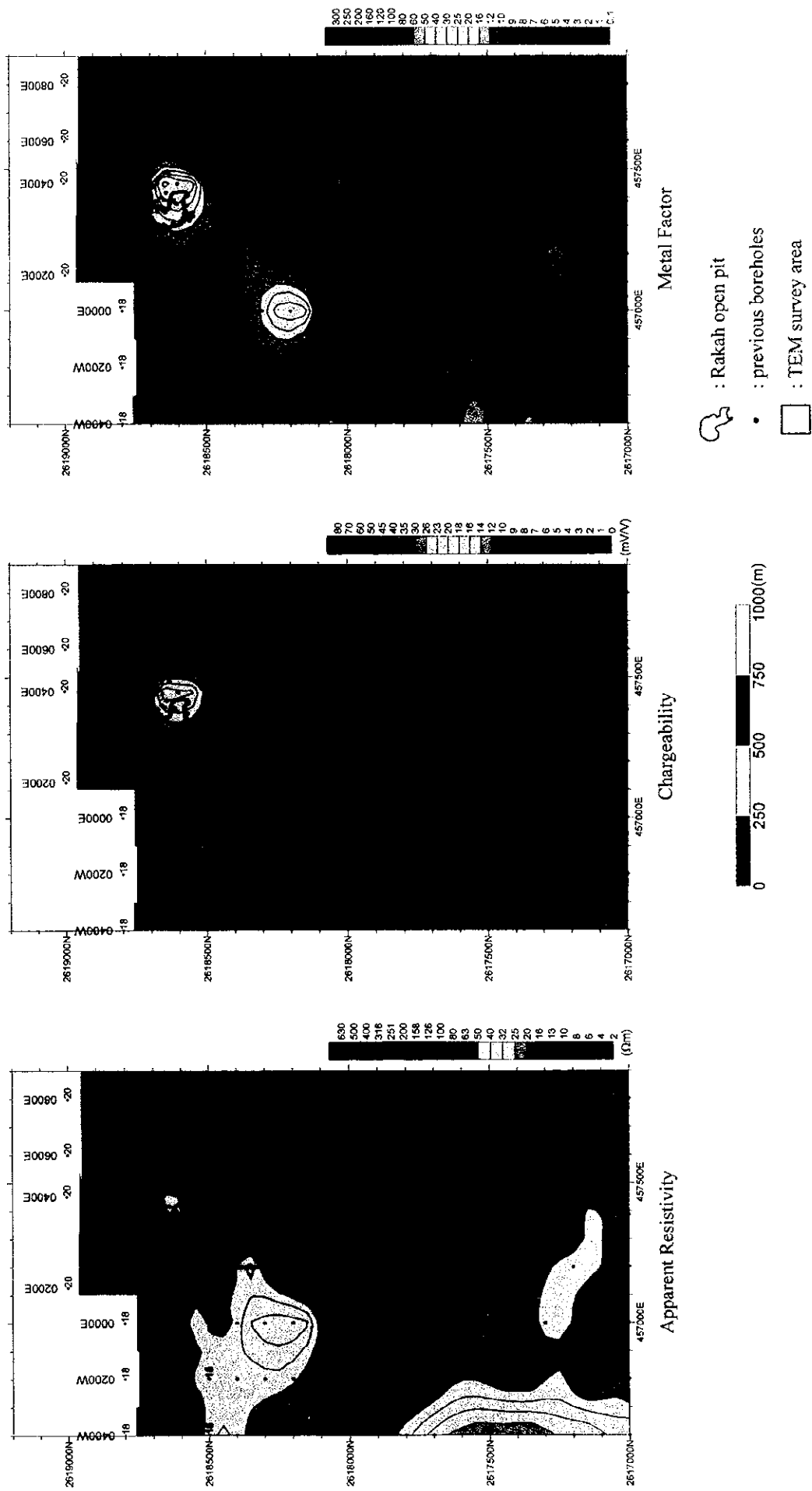


Fig. II -5-16(1) TDIP plane maps in Rakah Mine area for N=1

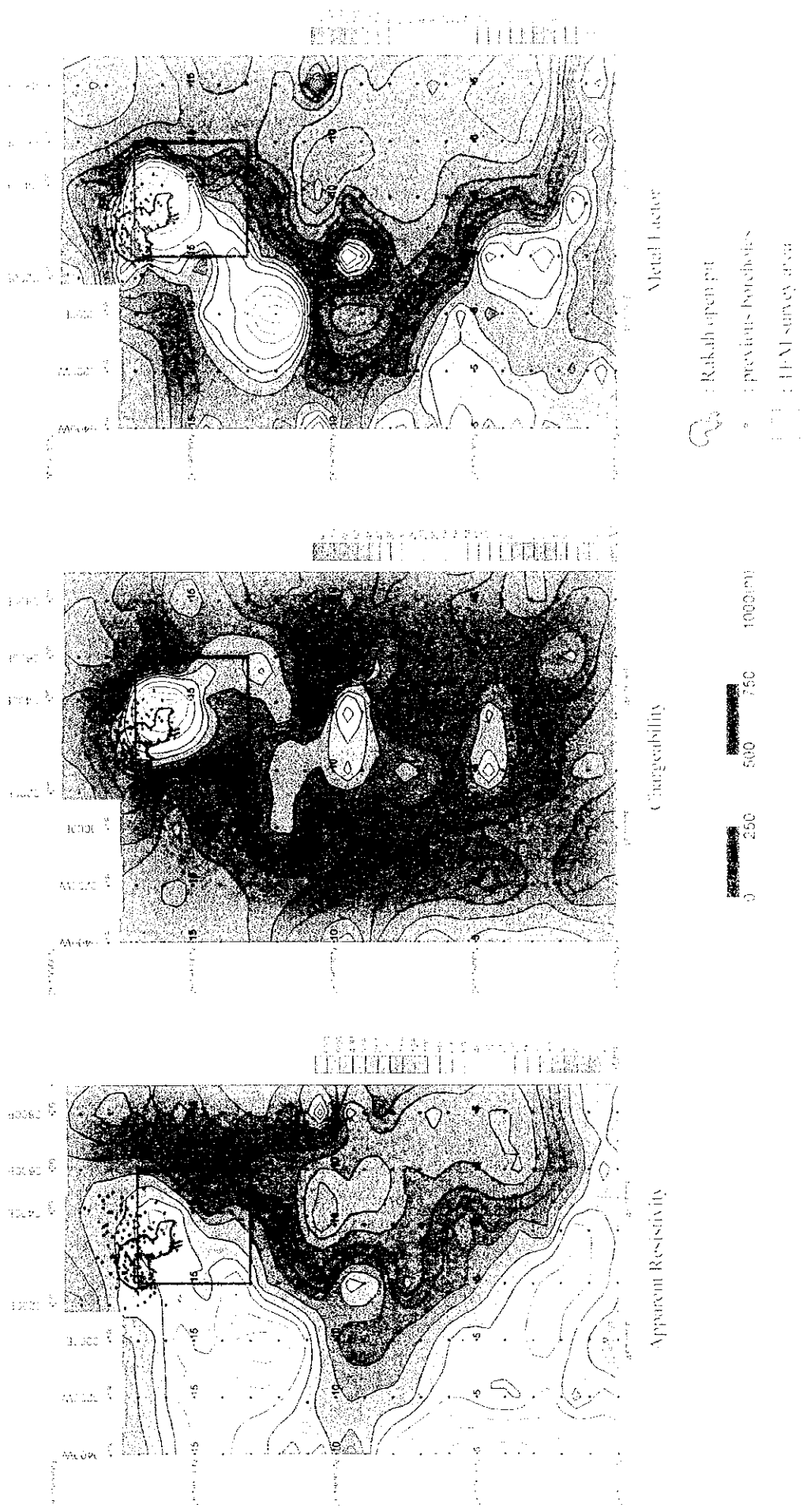


Fig. II-5-16(1) DDIP plane maps in Rakah Mine area for N 3

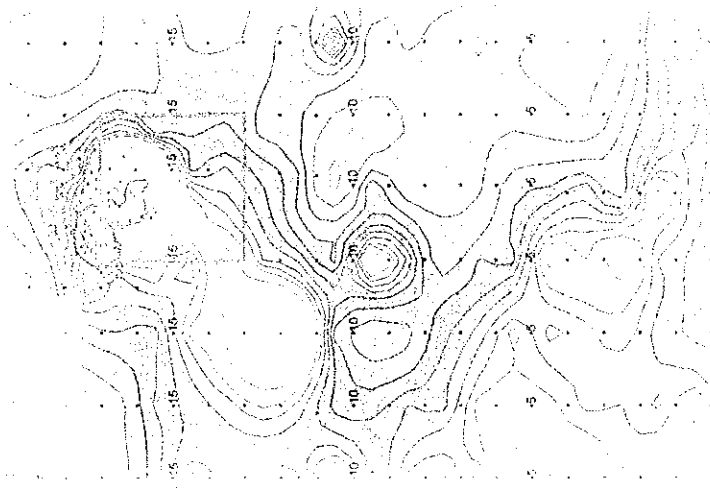


Figure 1

Figure 1 shows the topographic map of the study area. The map displays contour lines representing elevation, with values ranging from 5 to 50. A shaded area is visible in the upper left quadrant, indicating a specific region of interest.

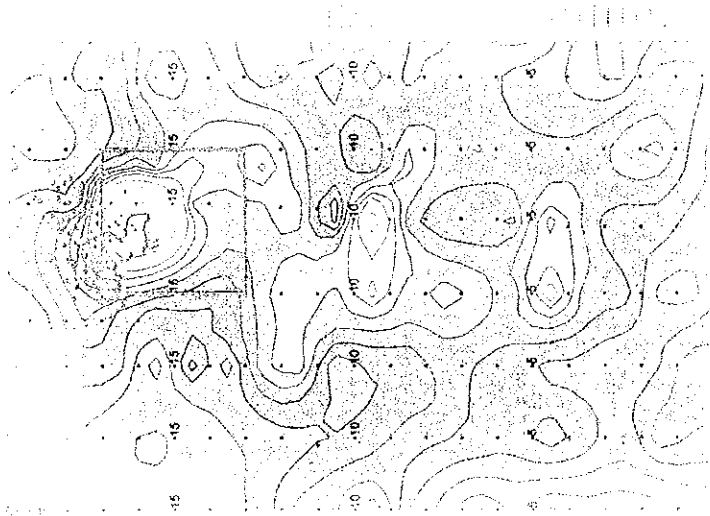


Figure 2

Figure 2 shows the topographic map of the study area. The map displays contour lines representing elevation, with values ranging from 5 to 50. A shaded area is visible in the upper left quadrant, indicating a specific region of interest.

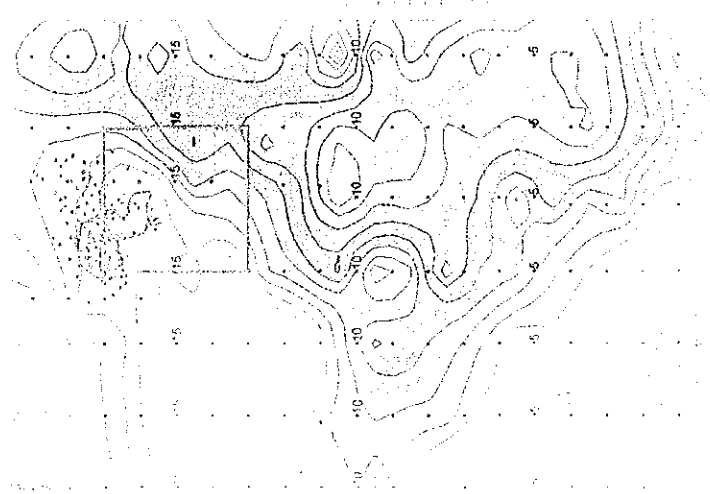


Figure 3

Figure 3 shows the topographic map of the study area. The map displays contour lines representing elevation, with values ranging from 5 to 50. A shaded area is visible in the upper left quadrant, indicating a specific region of interest.



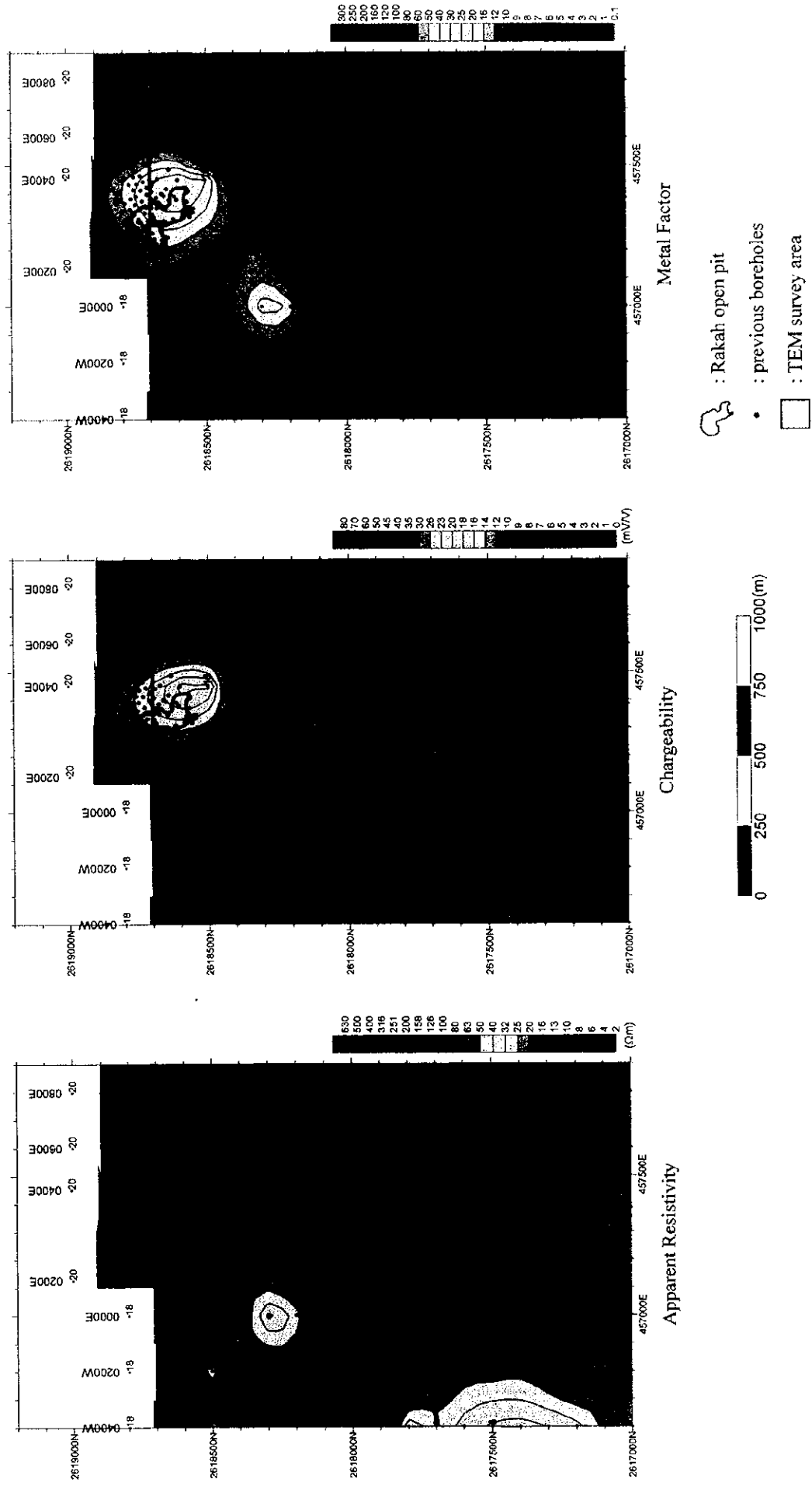


Fig. II -5-16(2) TDIP plane maps in Rakah Mine area for N=2

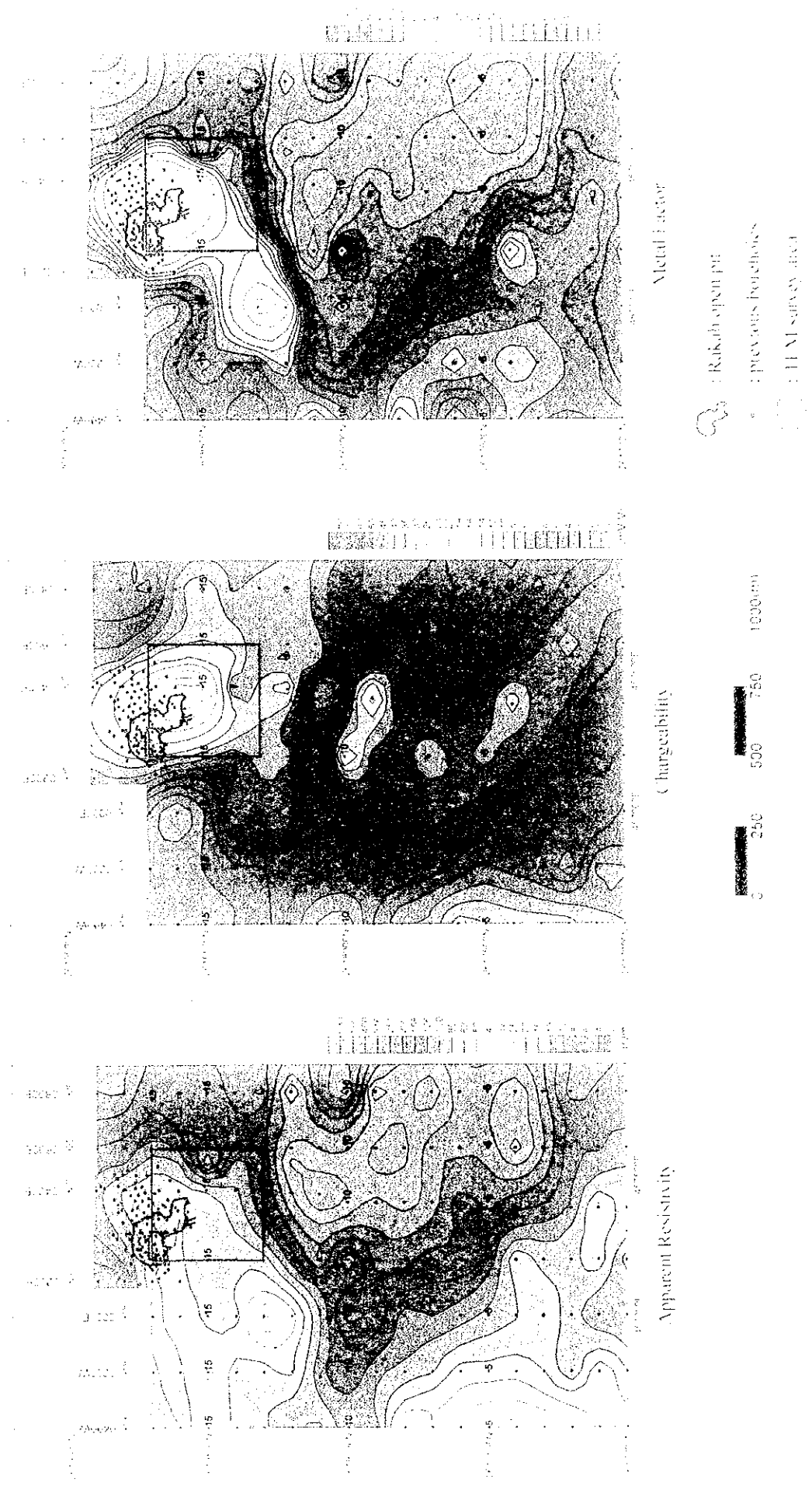
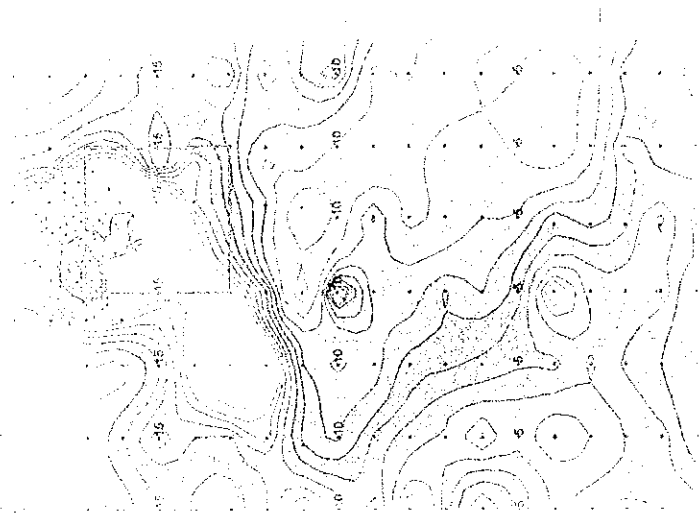
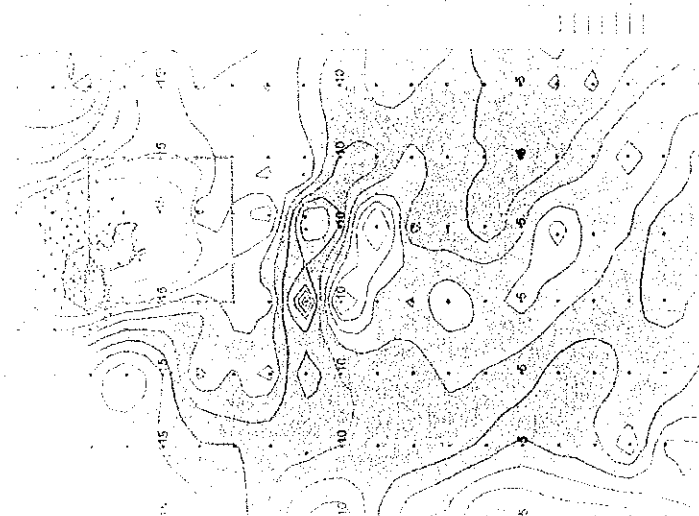


Fig. II-5-16(2) 1DHP plane maps in Rakah Mine area for N 2



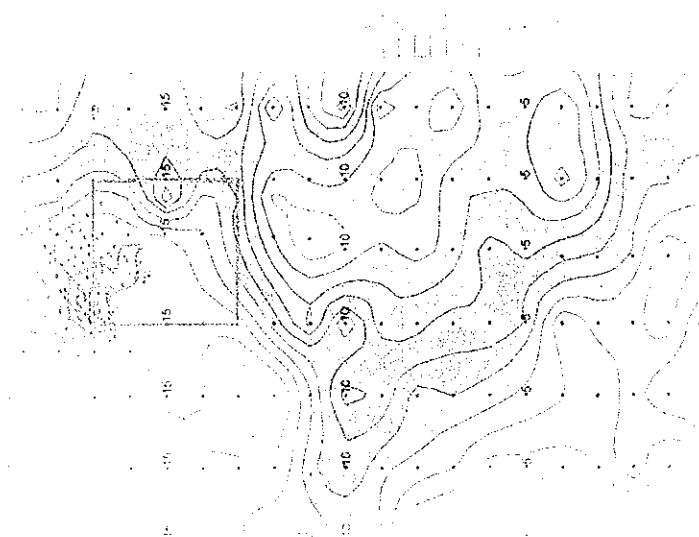
Sheet 1

Topographic map showing contour lines and elevation points. The map features a grid of elevation points and contour lines with values ranging from 5 to 15. A rectangular area is outlined in the upper left quadrant.



Sheet 2

Topographic map showing contour lines and elevation points. The map features a grid of elevation points and contour lines with values ranging from 5 to 15. A rectangular area is outlined in the upper left quadrant.



Sheet 3

Topographic map showing contour lines and elevation points. The map features a grid of elevation points and contour lines with values ranging from 5 to 15. A rectangular area is outlined in the upper left quadrant.



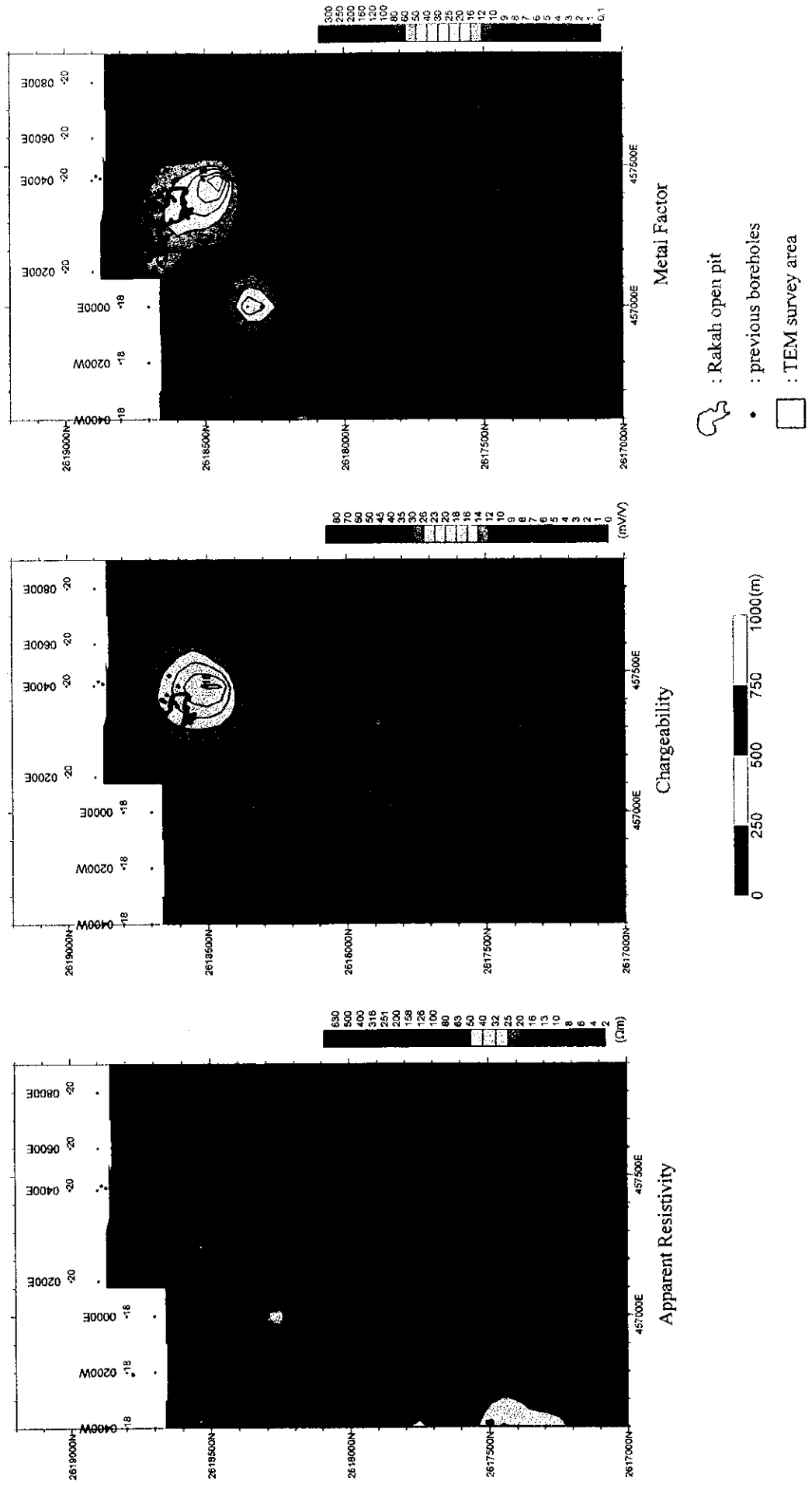


Fig. II -5-16(3) TDIP plane maps in Rakah Mine area for N=3

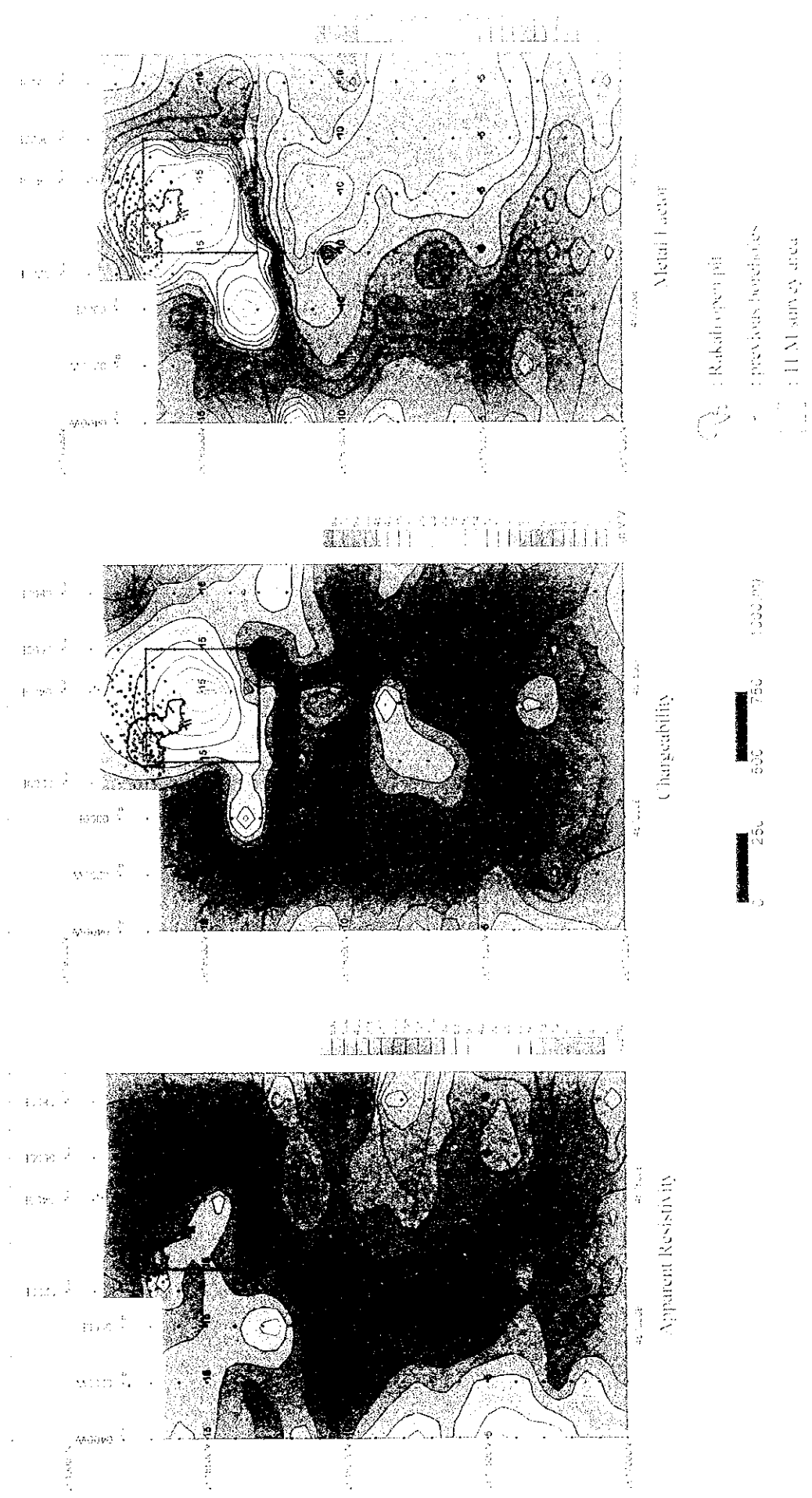


Fig. II-5-(a-c) IODIP plate maps in Rakah Mine area for N 3

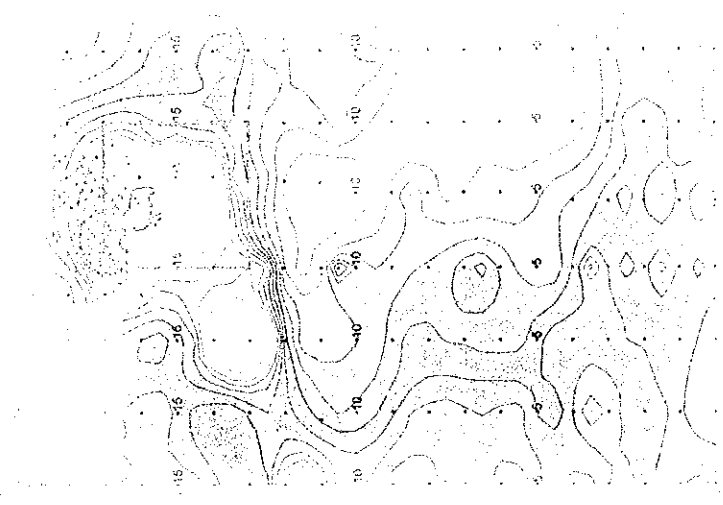


Figure 1

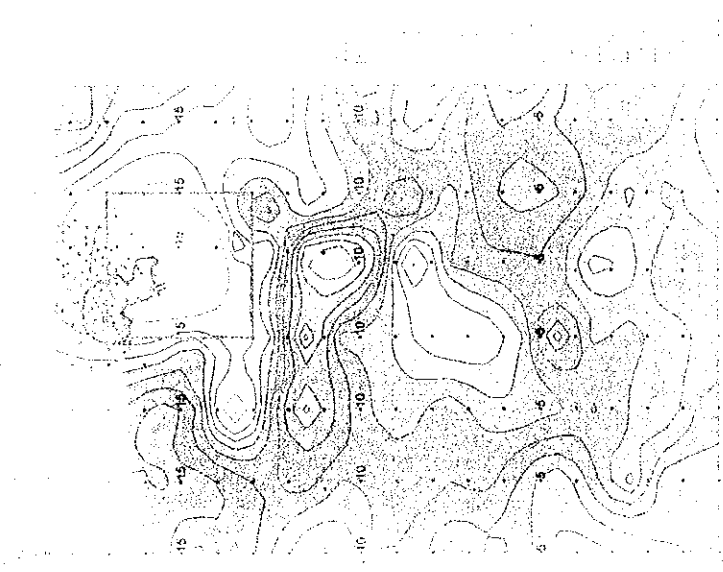


Figure 2

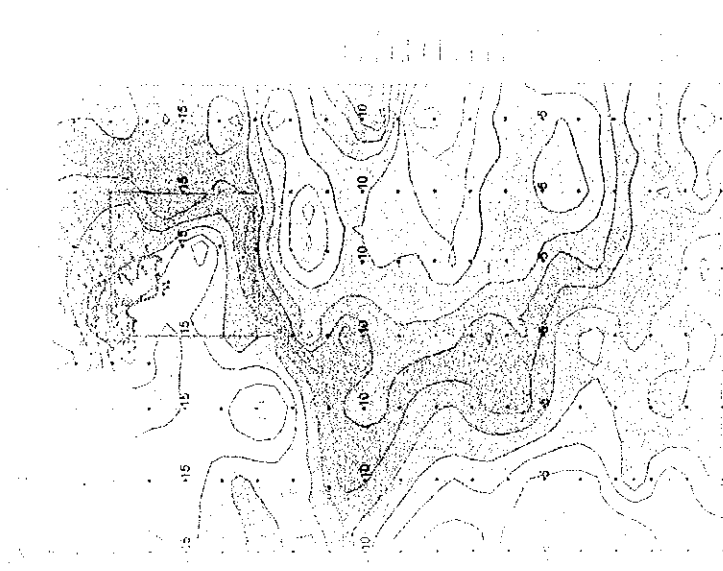


Figure 3



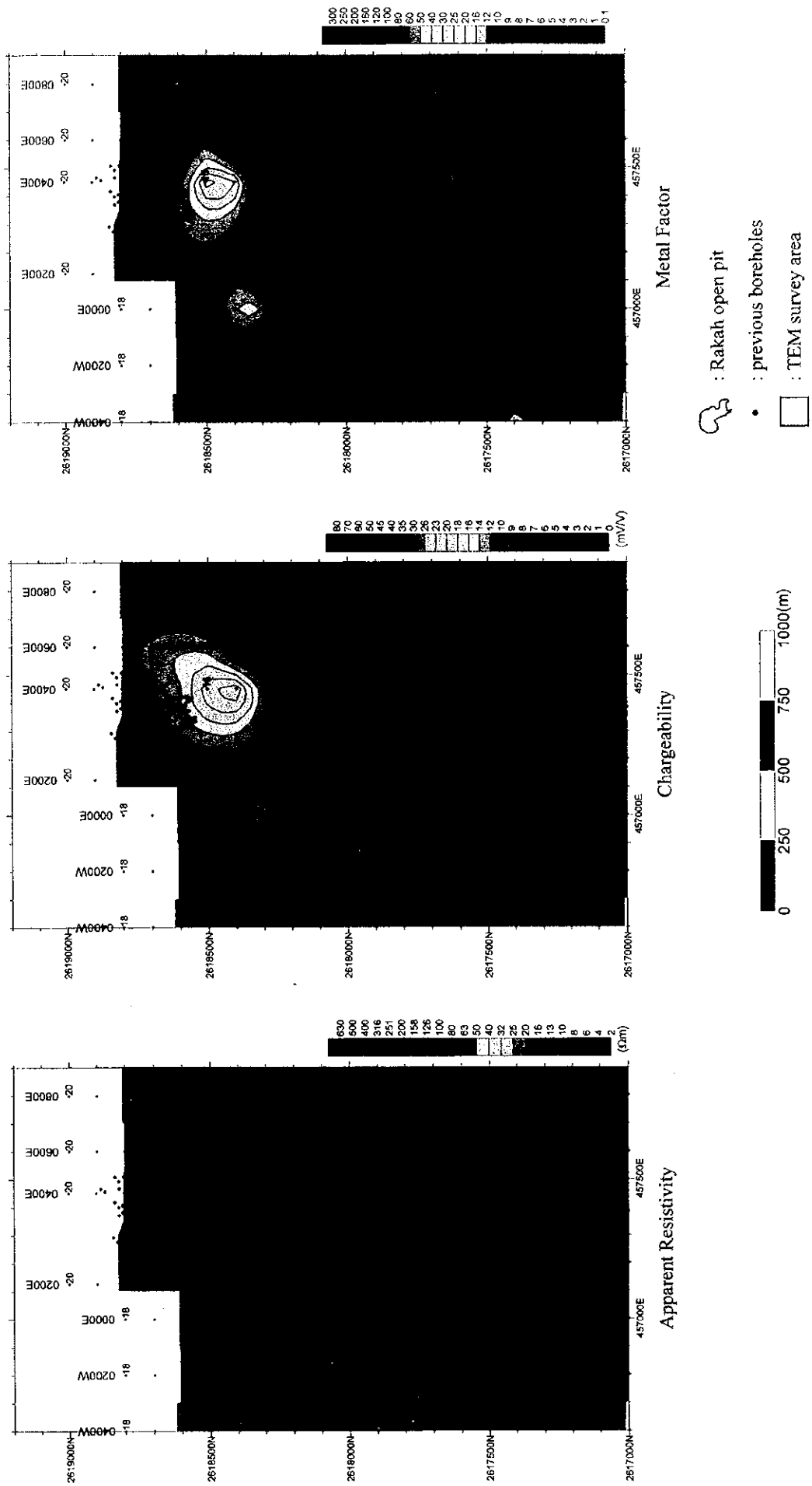


Fig. II-5-16(4) TDIP plane maps in Rakah Mine area for N=4

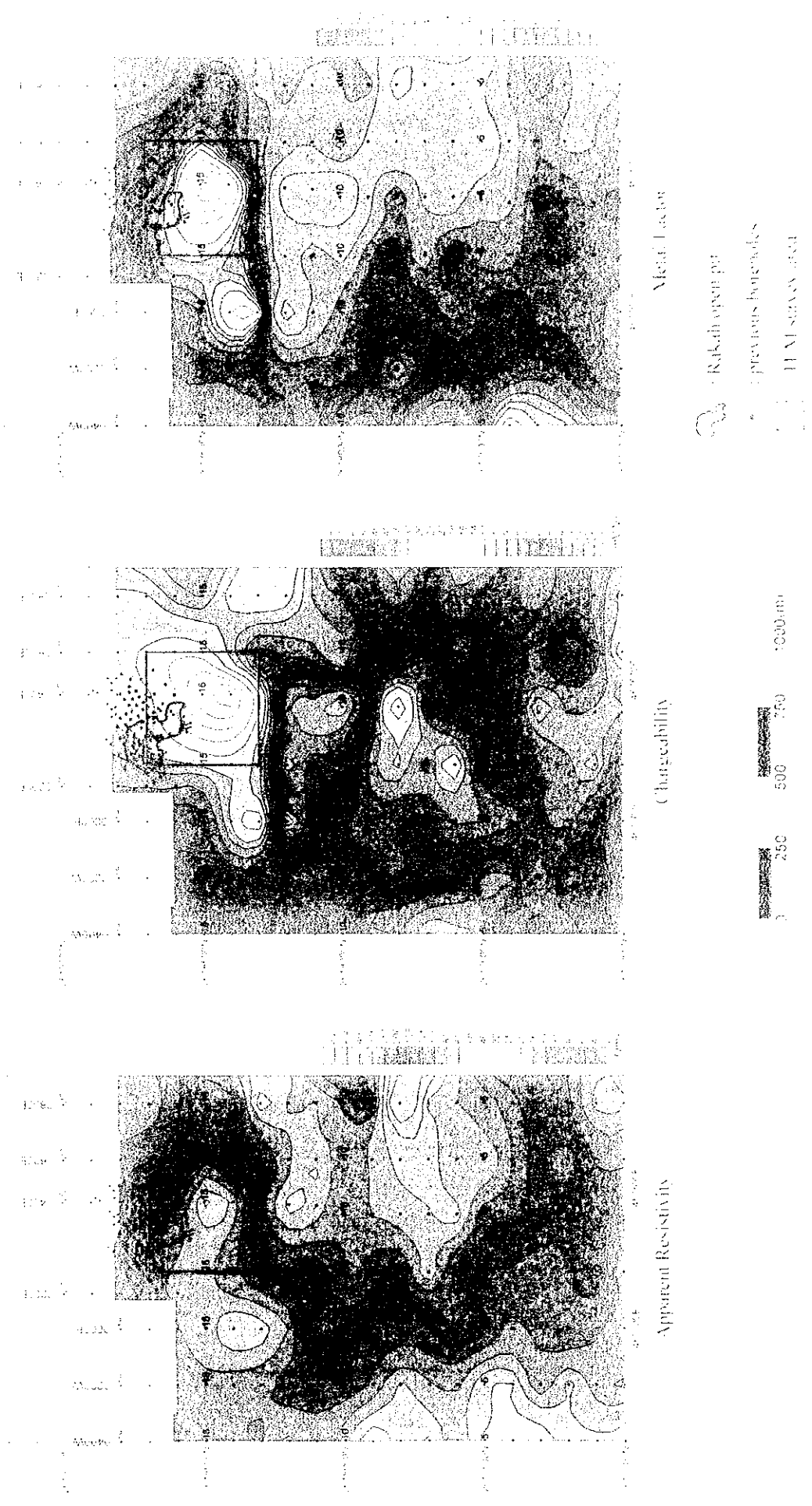
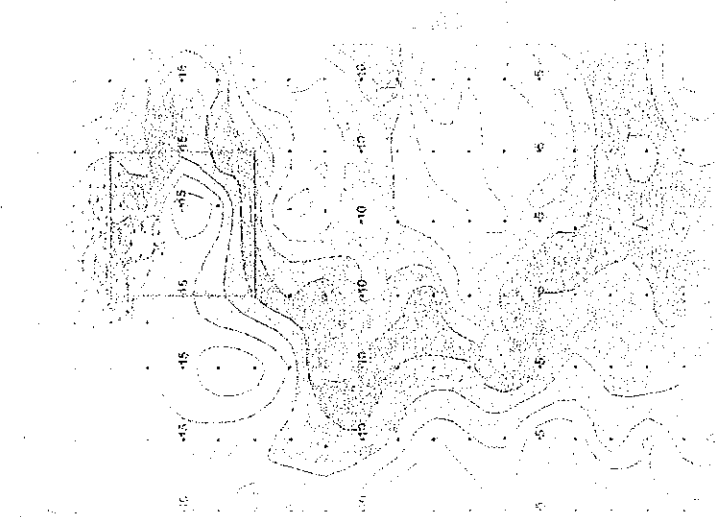
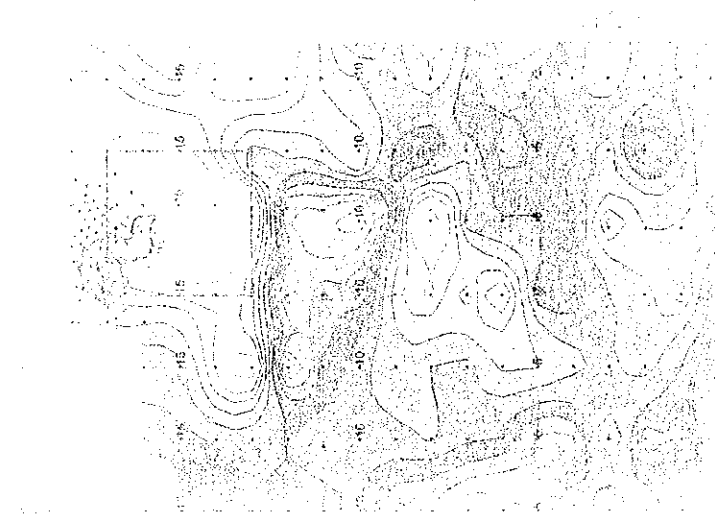
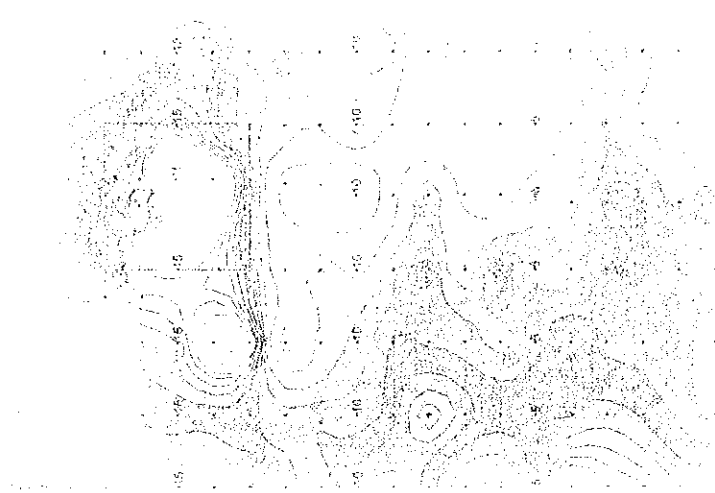


Fig. II-8-1664 - HDP plane maps in Rakah Mine area for N-4



Topographic map of a region with contour lines and a grid. The map shows a central area with a grid of points. Contour lines are labeled with values such as 10, 15, 20, 25, 30, 35, 40, 45, 50, 55, 60, 65, 70, 75, 80, 85, 90, 95, 100, 105, 110, 115, 120, 125, 130, 135, 140, 145, 150, 155, 160, 165, 170, 175, 180, 185, 190, 195, 200, 205, 210, 215, 220, 225, 230, 235, 240, 245, 250, 255, 260, 265, 270, 275, 280, 285, 290, 295, 300, 305, 310, 315, 320, 325, 330, 335, 340, 345, 350, 355, 360, 365, 370, 375, 380, 385, 390, 395, 400, 405, 410, 415, 420, 425, 430, 435, 440, 445, 450, 455, 460, 465, 470, 475, 480, 485, 490, 495, 500, 505, 510, 515, 520, 525, 530, 535, 540, 545, 550, 555, 560, 565, 570, 575, 580, 585, 590, 595, 600, 605, 610, 615, 620, 625, 630, 635, 640, 645, 650, 655, 660, 665, 670, 675, 680, 685, 690, 695, 700, 705, 710, 715, 720, 725, 730, 735, 740, 745, 750, 755, 760, 765, 770, 775, 780, 785, 790, 795, 800, 805, 810, 815, 820, 825, 830, 835, 840, 845, 850, 855, 860, 865, 870, 875, 880, 885, 890, 895, 900, 905, 910, 915, 920, 925, 930, 935, 940, 945, 950, 955, 960, 965, 970, 975, 980, 985, 990, 995, 1000. The map is oriented with North at the top.



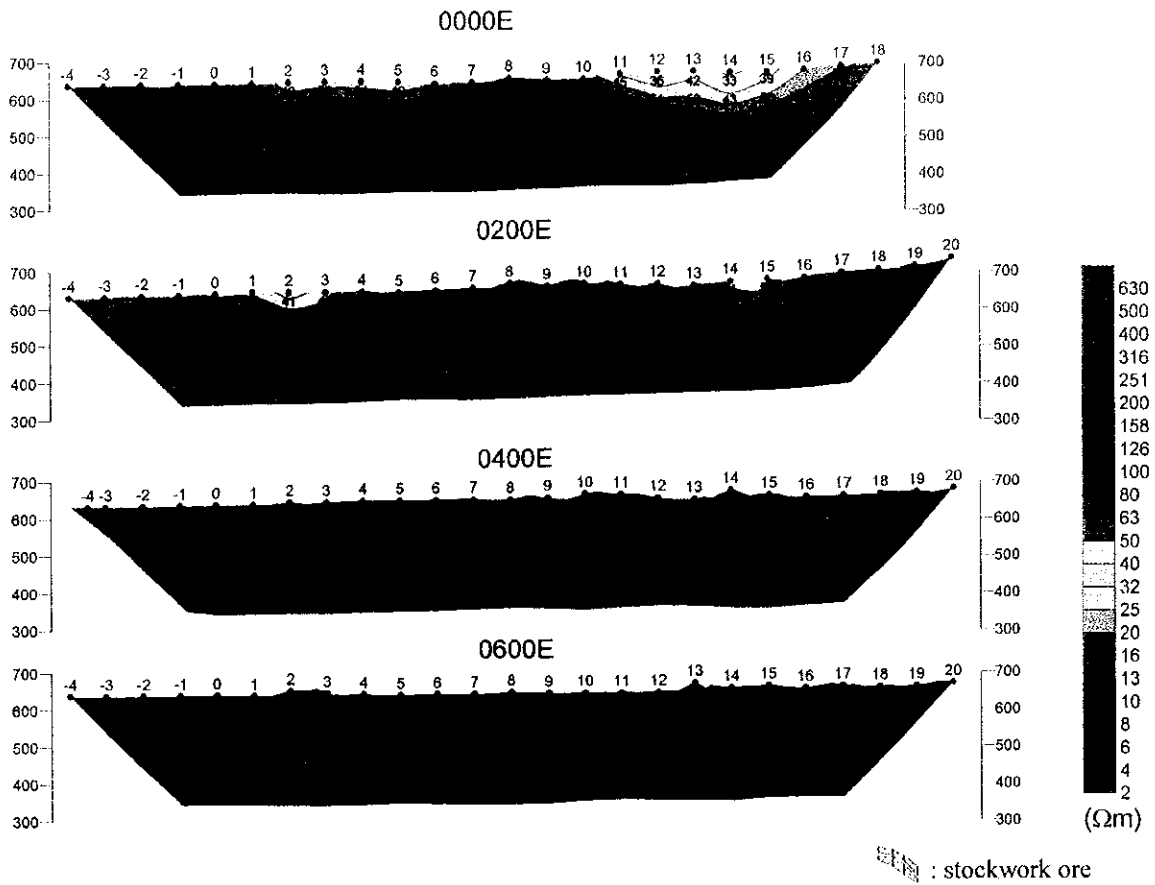


Fig. II-5-17(1) 2D analysis sections for resistivity in Rakah Mine area

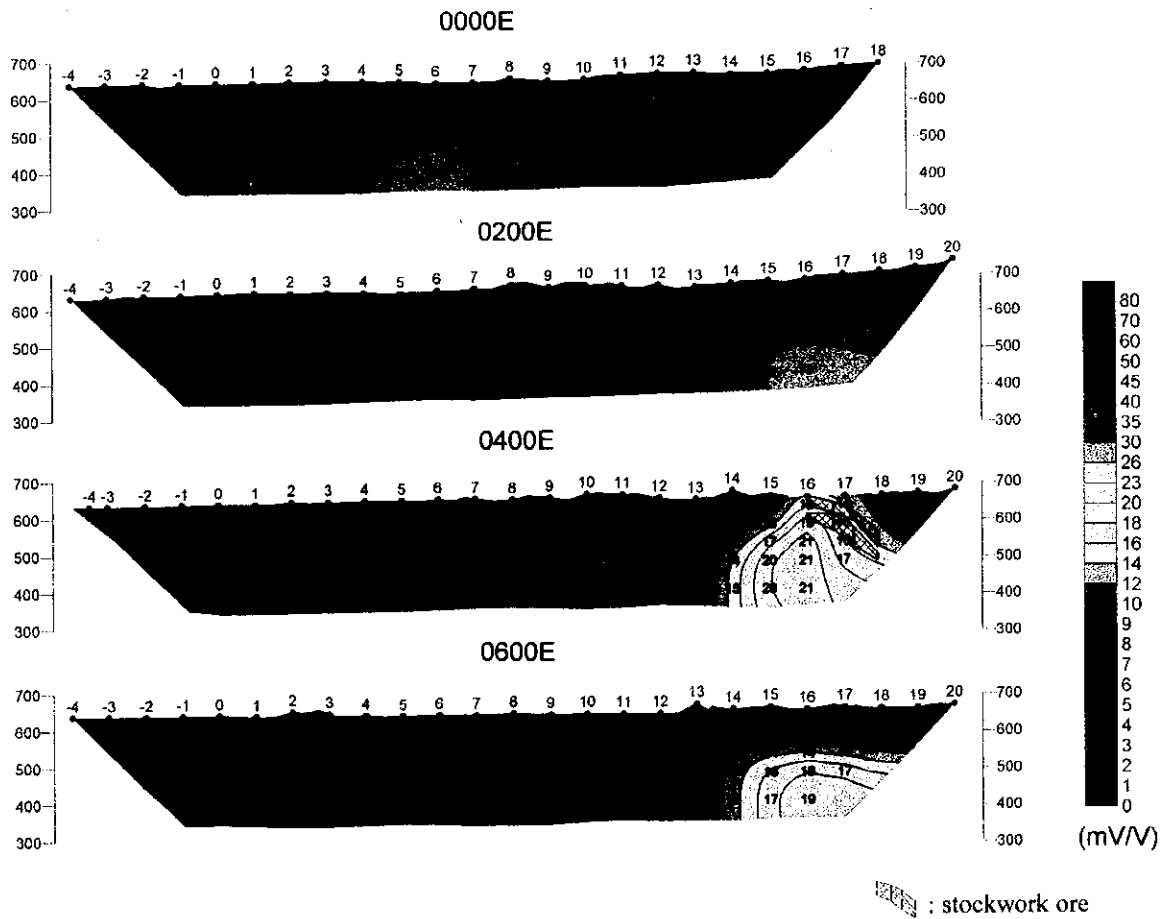
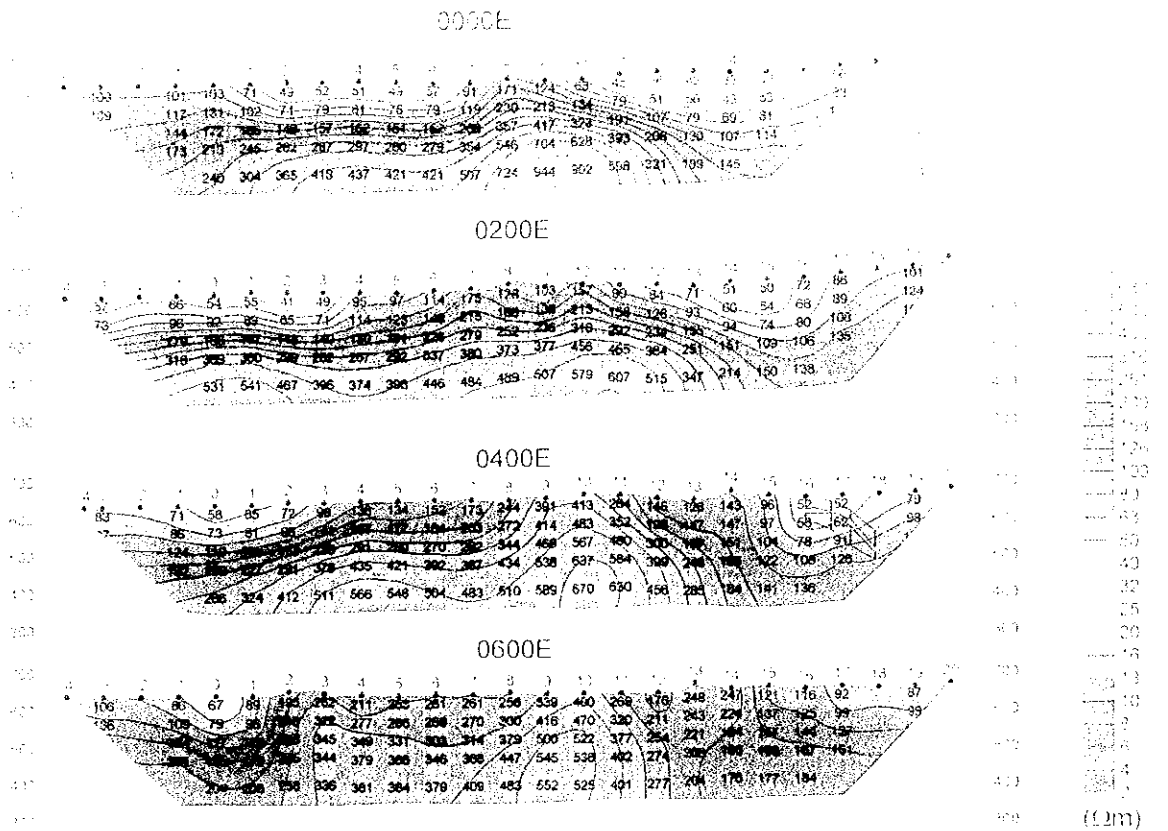
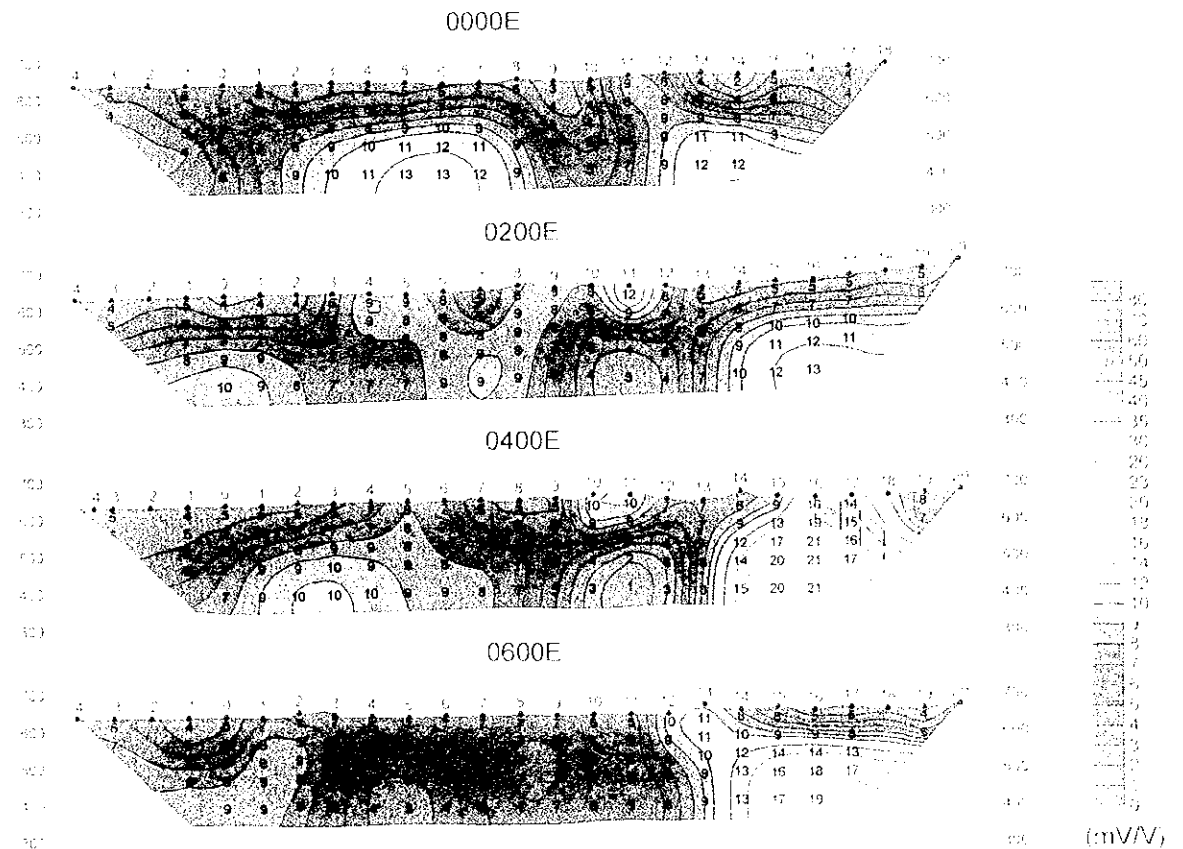


Fig. II-5-17(2) 2D analysis sections for Chargeability in Rakah Mine area



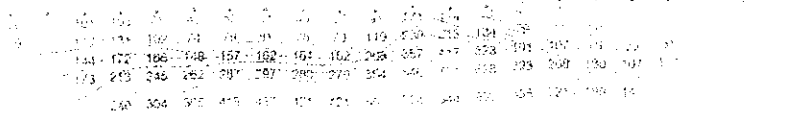
● : stockwork ore

Fig. II-5-17(1) 2D analysis sections for resistivity in Rakah Mine area

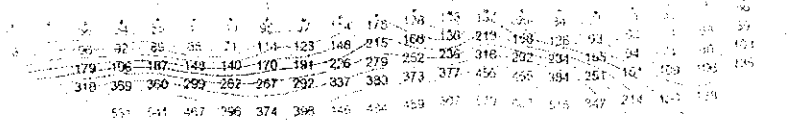


● : stockwork ore

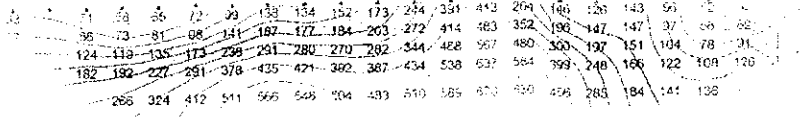
Fig. II-5-17(2) 2D analysis sections for Chargeability in Rakah Mine area



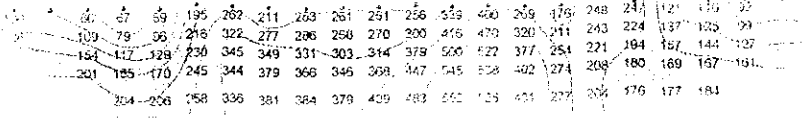
1000 ft



1200 ft



1400 ft

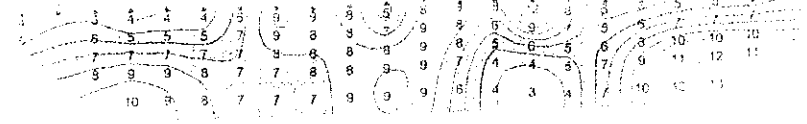


1600 ft

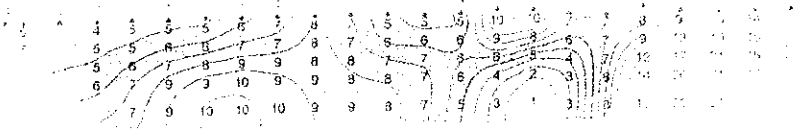
Fig. 5-17-10. 2D analysis section of ...



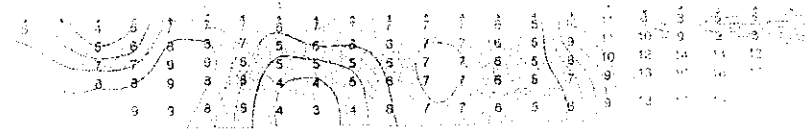
1800 ft



2000 ft



2200 ft



2400 ft

Fig. 5-17-10. 2D analysis section of ...



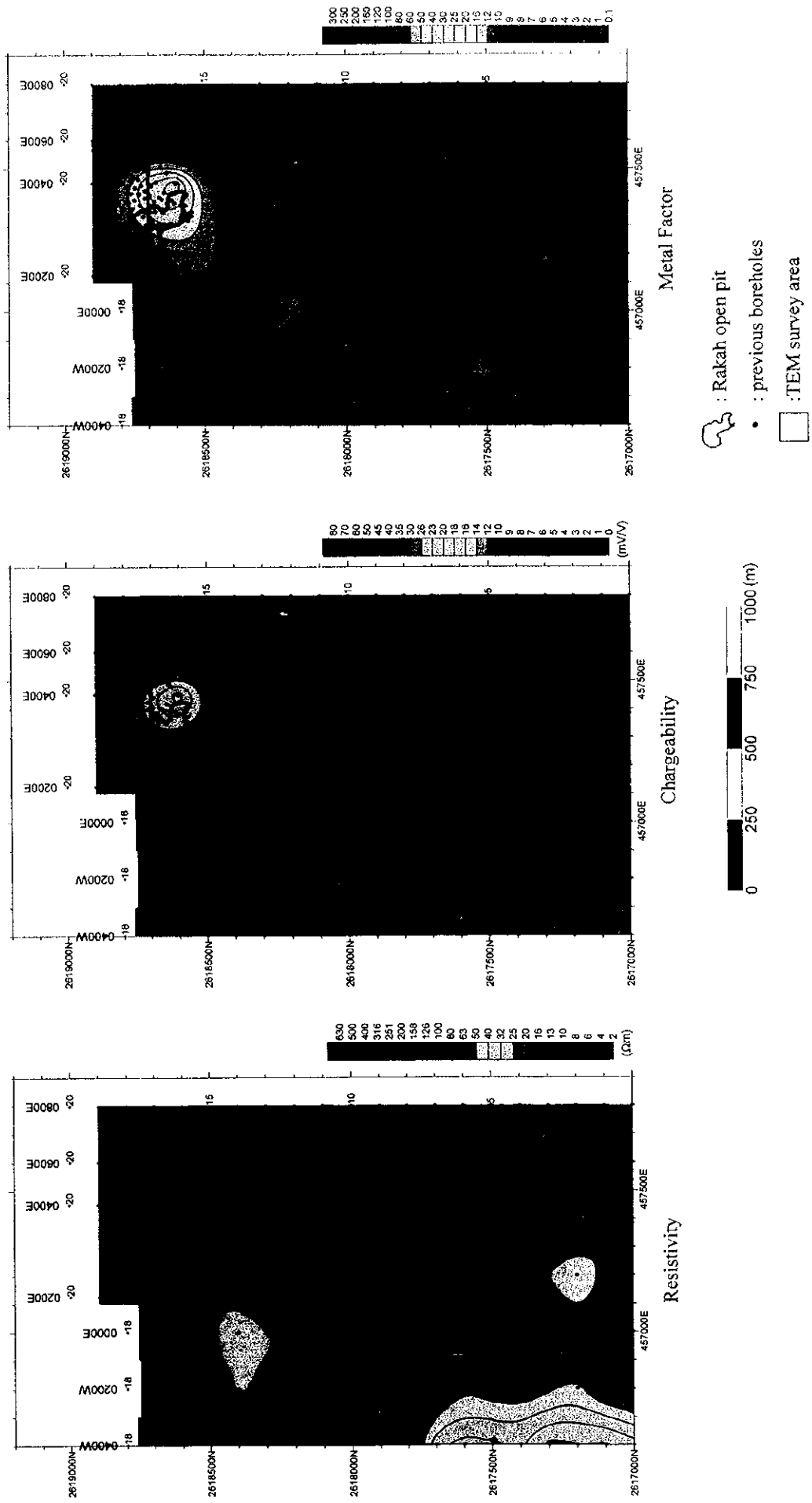


Fig II-5-18(1) 2D analysis plane maps in Rakah Mine area at 100m depth

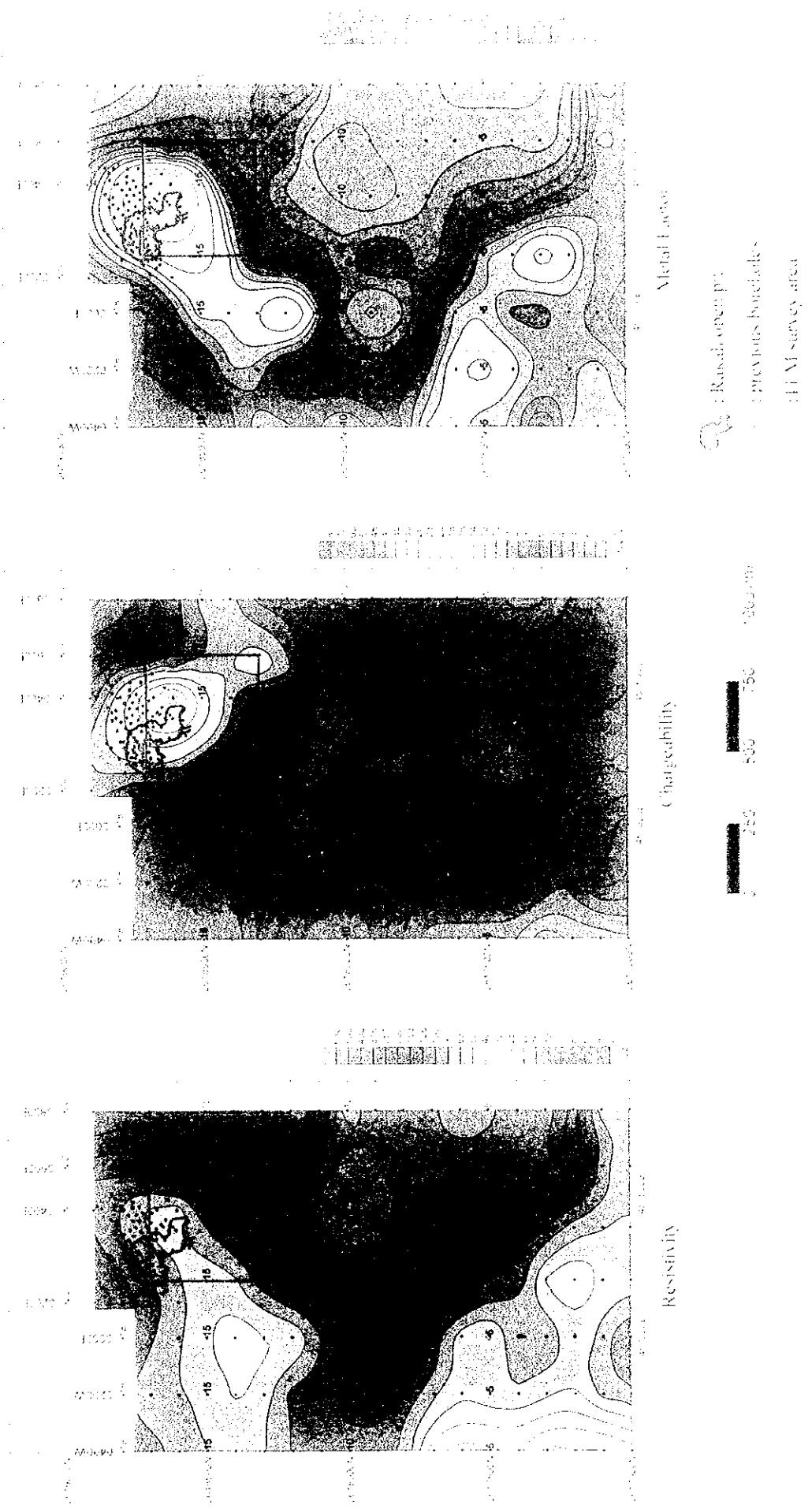
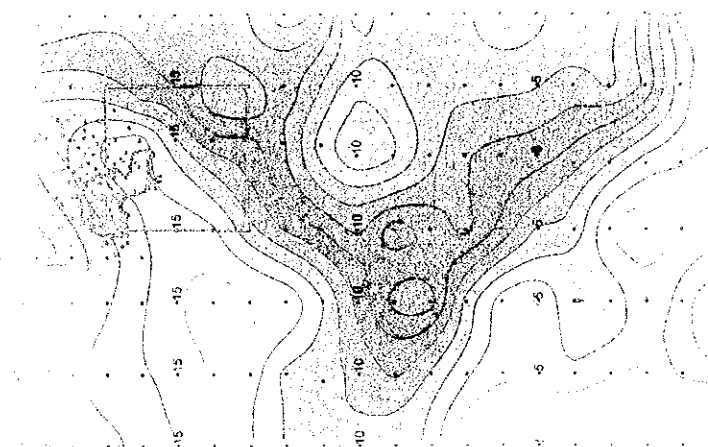
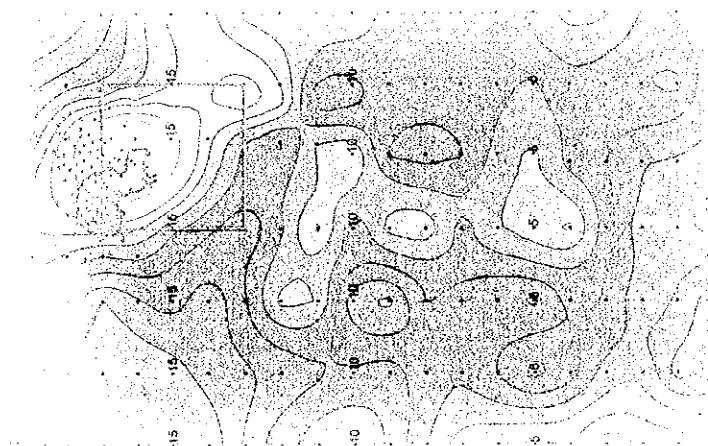
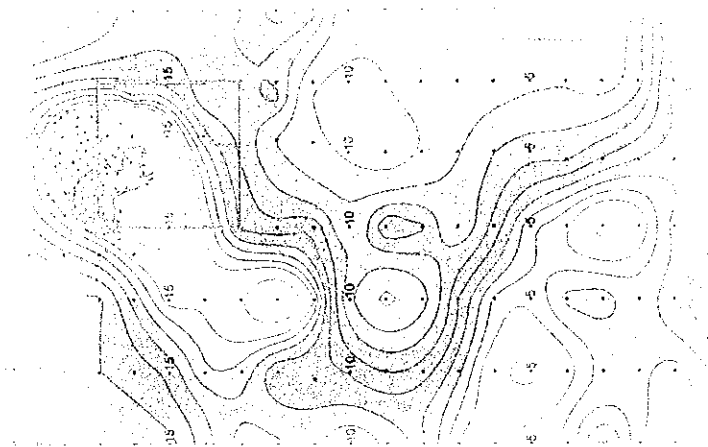


Fig. H-5-3(8) - 2D analysis plane maps in Rakah Mine area at 100m depth



1:50000



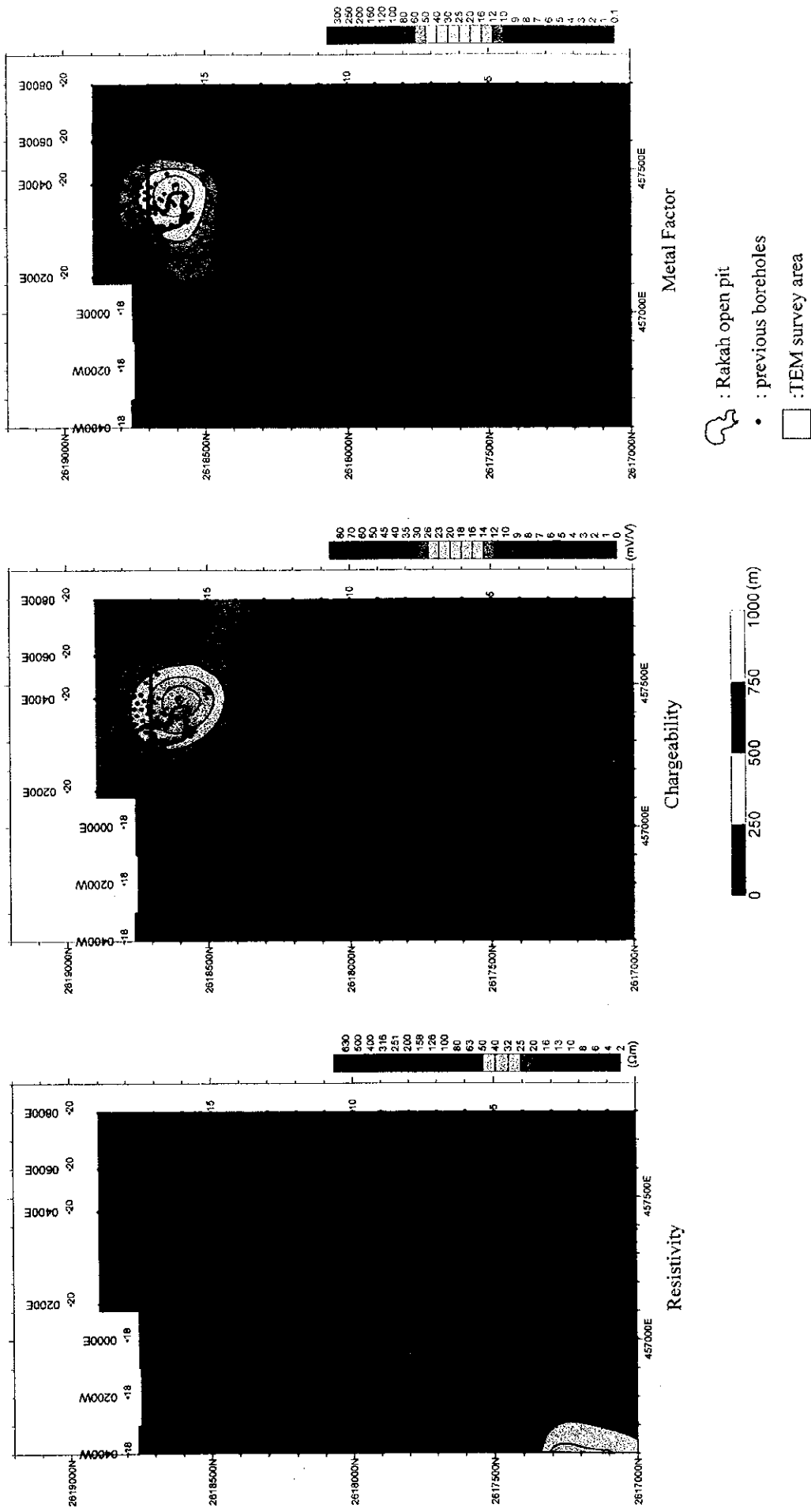


Fig II -5-18(2) 2D analysis plane maps in Rakah Mine area at 150m depth

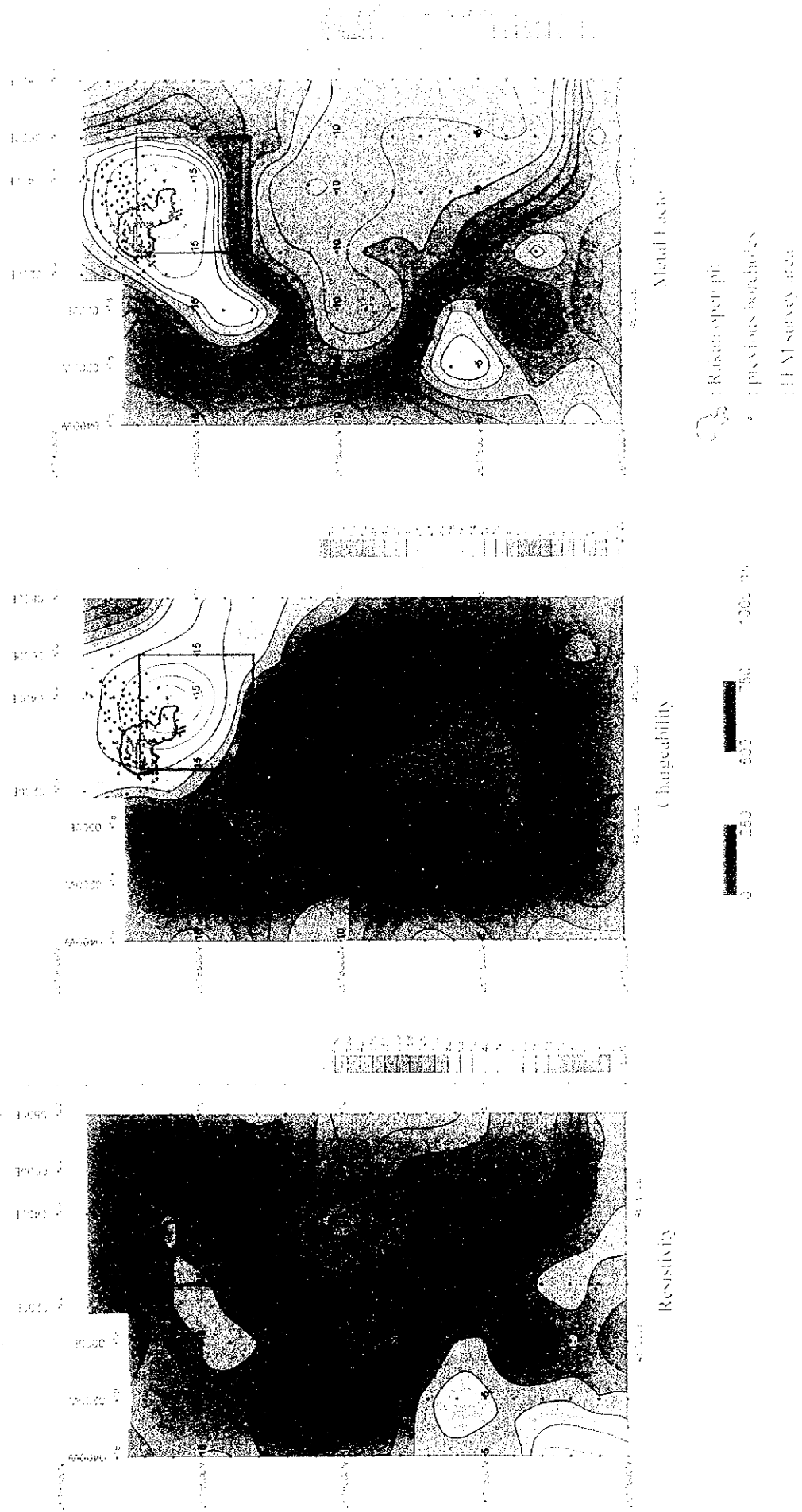
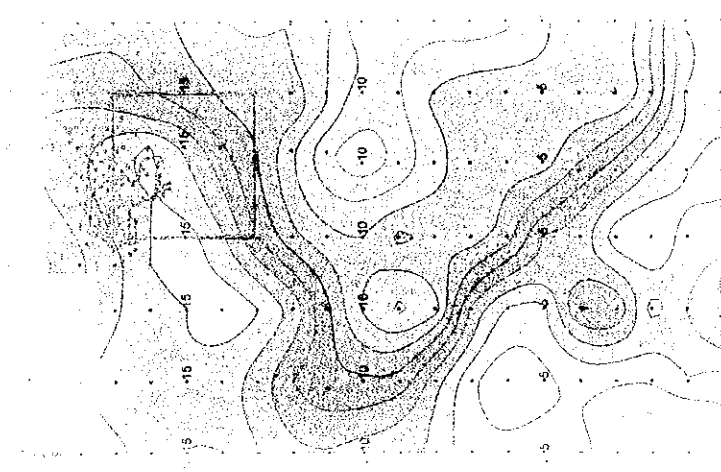
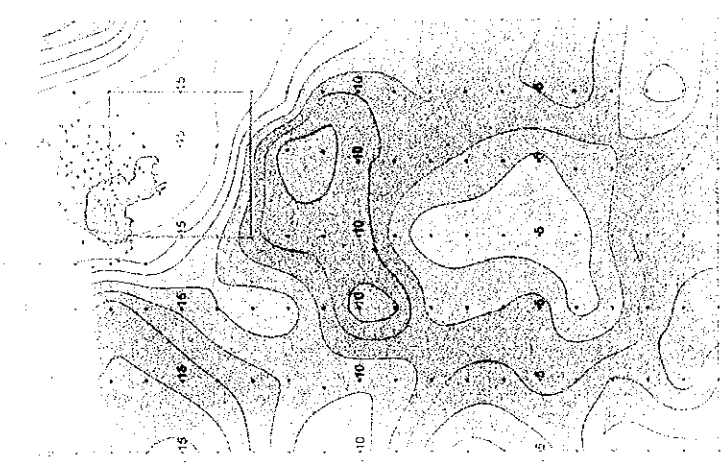
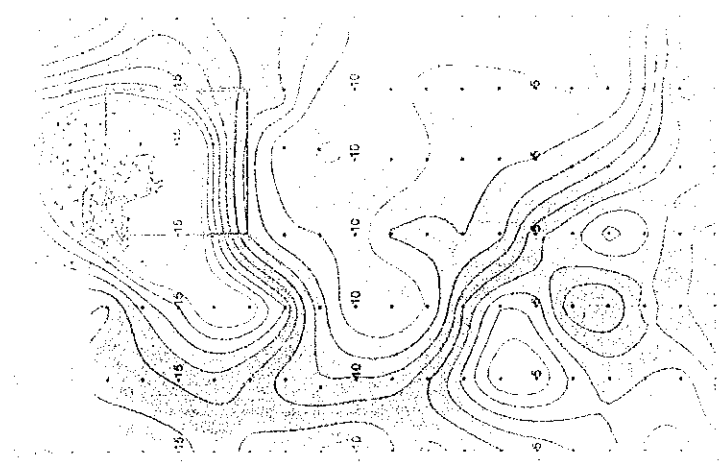


Fig. H-5-18C2 - 2D analysis plots maps in Rakati Mine area at 150m depth



1:25000

1:25000



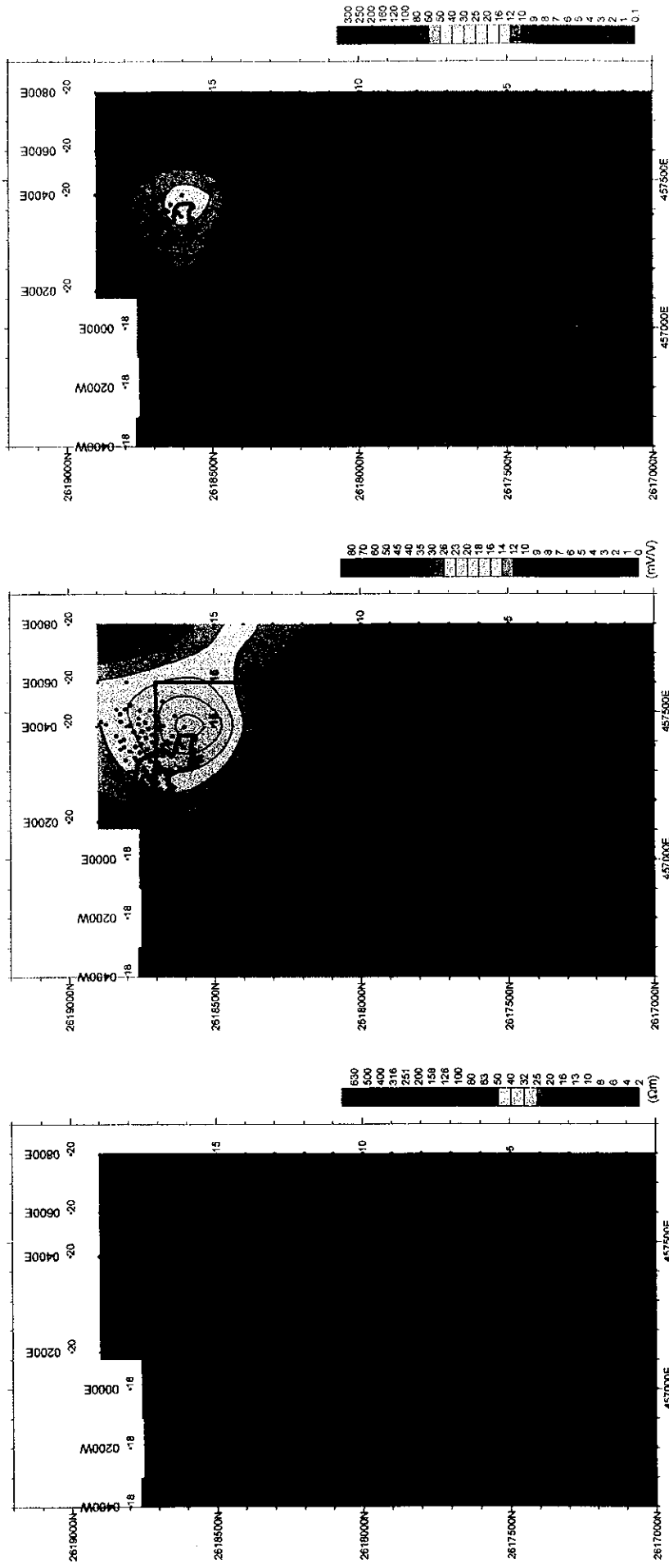


Fig II -5-18(3) 2D analysis plane maps in Rakah Mine area at 200m depth

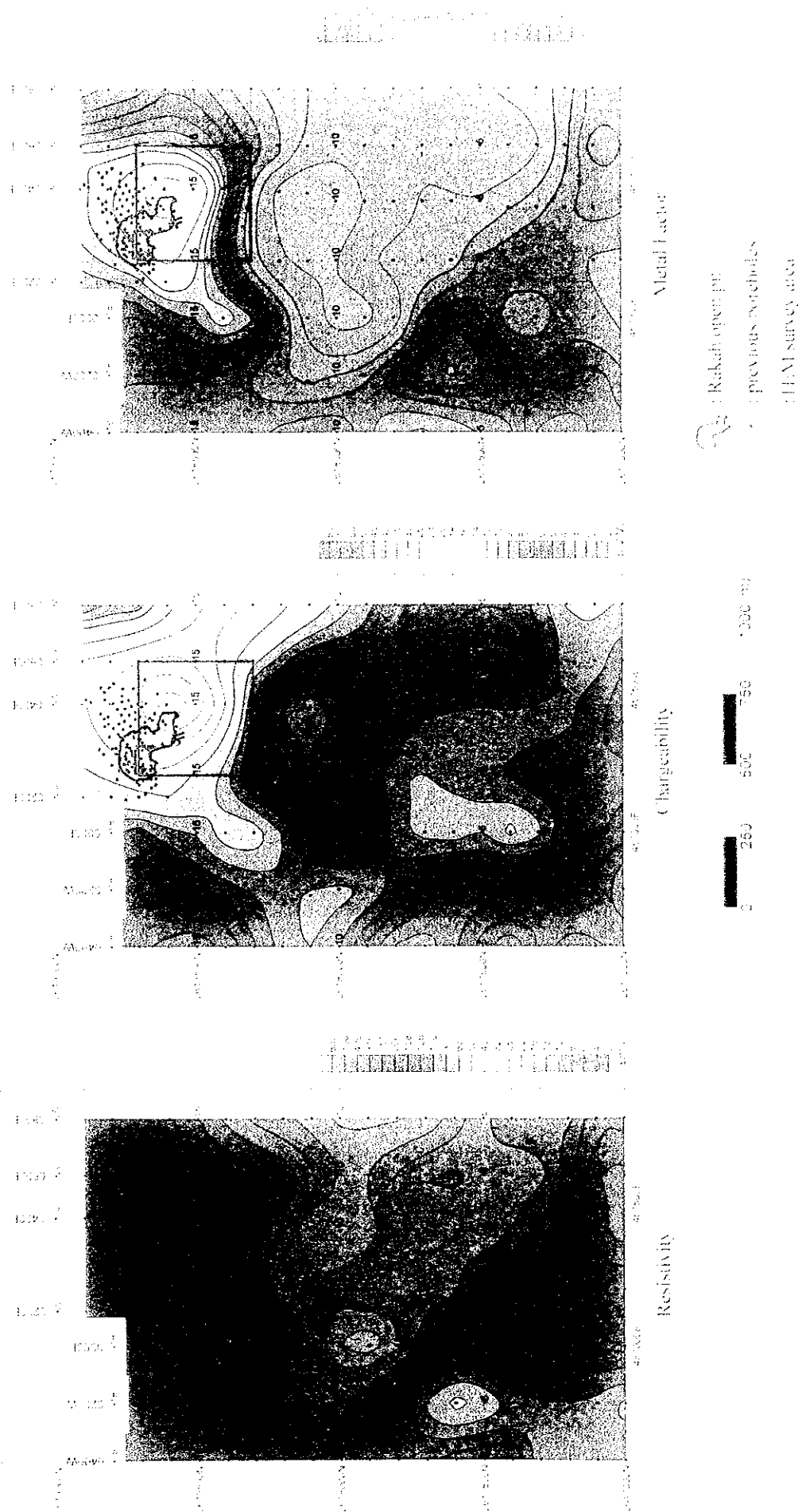
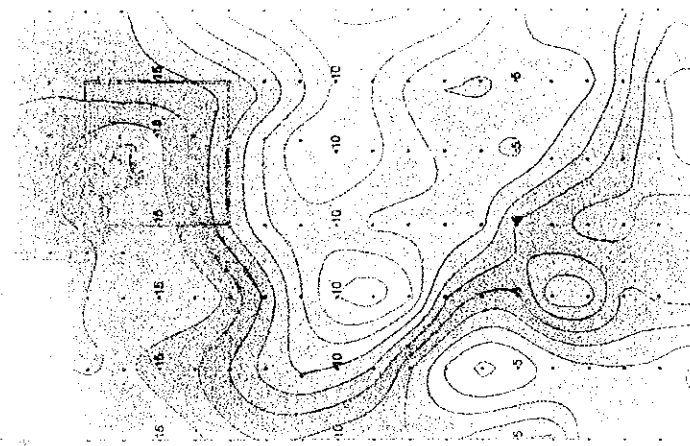
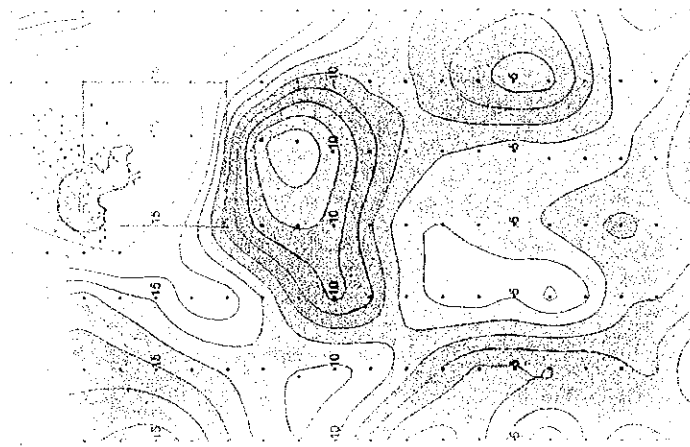
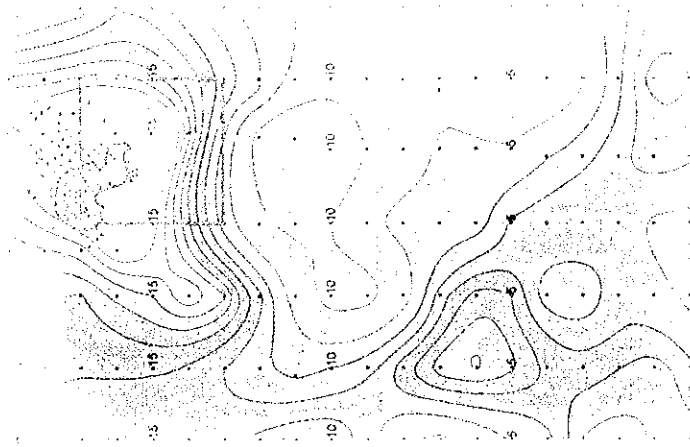


Fig. II-5-18(3) 2D analysis plane maps in Rakah Mine area at 200m depth



1000
 1000
 1000

1000
 1000
 1000

1000
 1000
 1000

1000
 1000
 1000



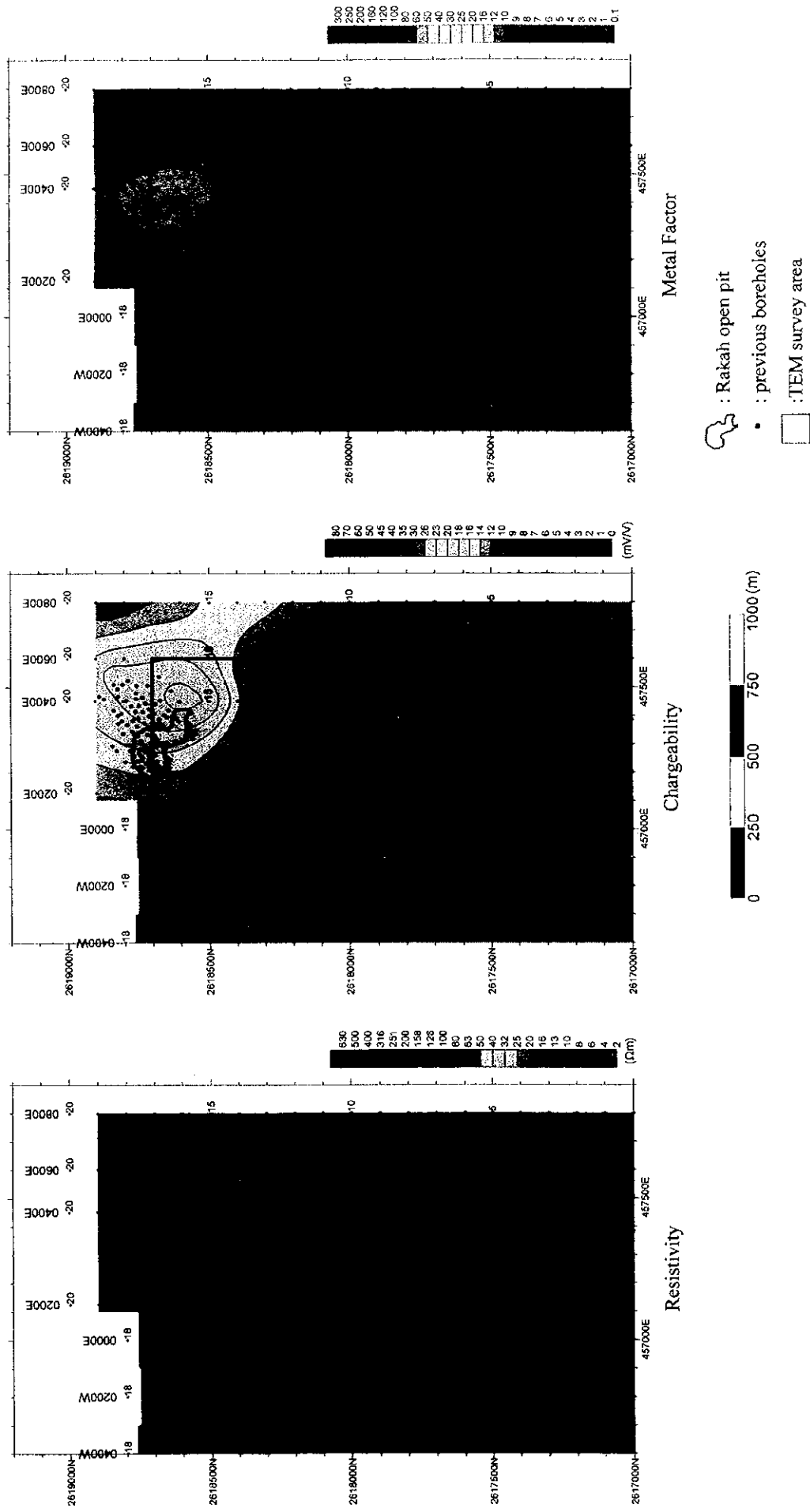


Fig. II-5-18(4) 2D analysis plane maps in Rakah Mine area at 250m depth

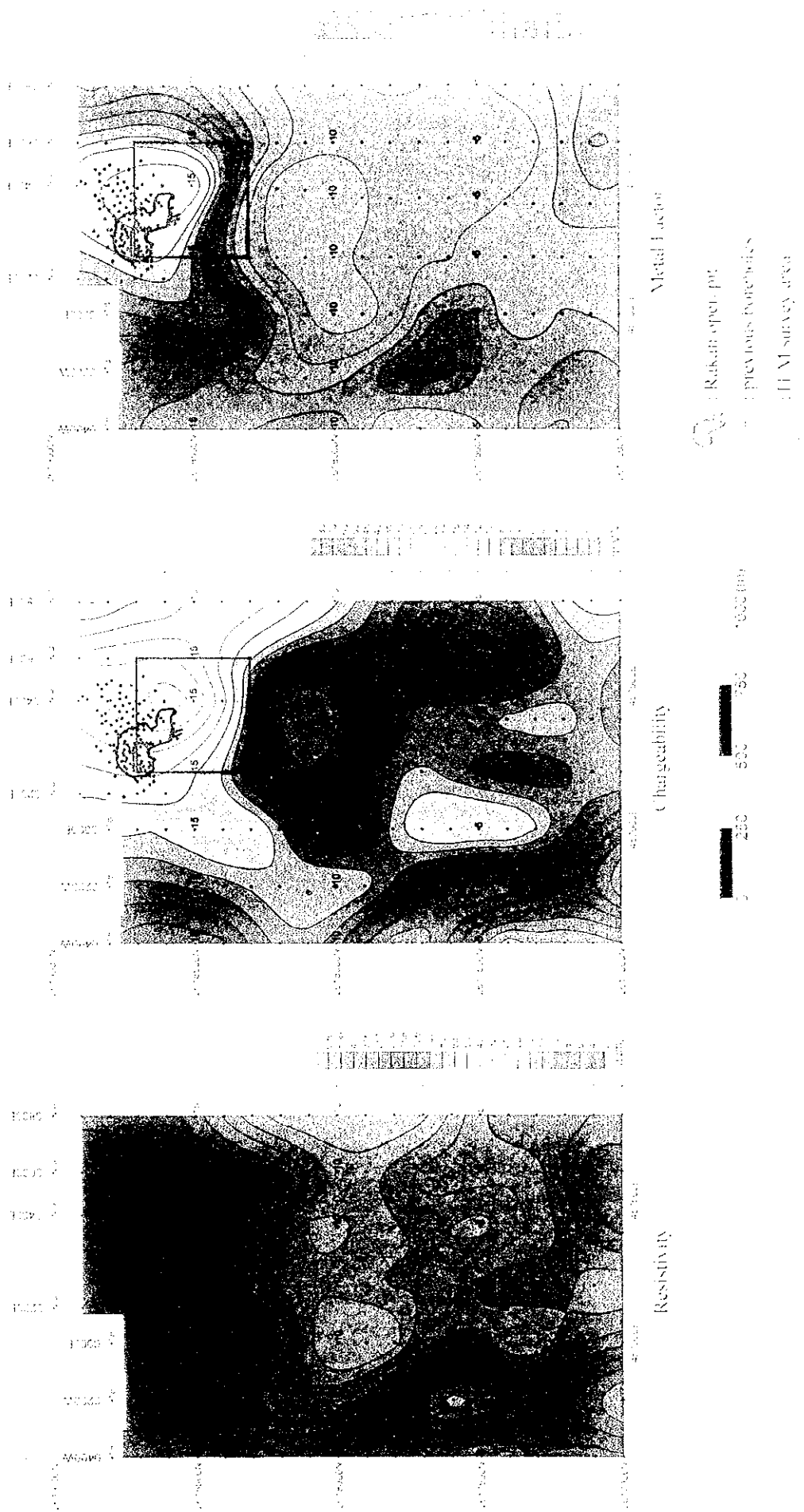
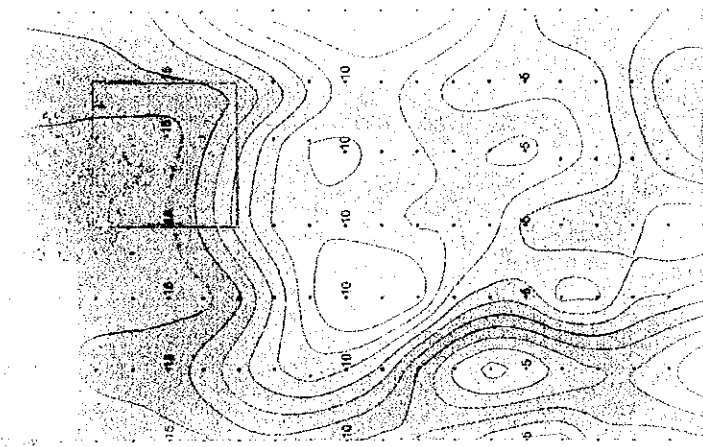
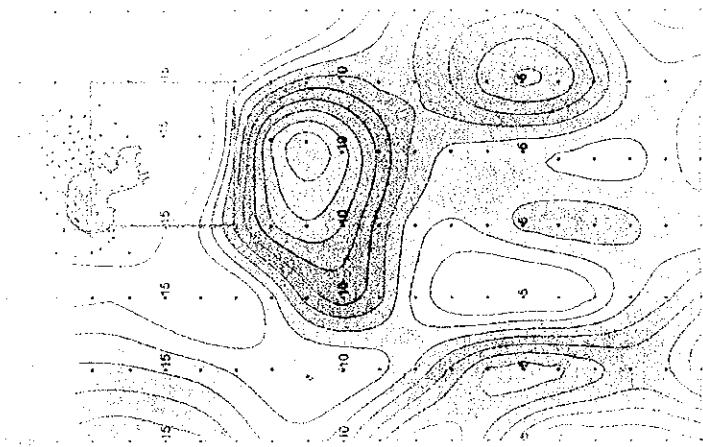
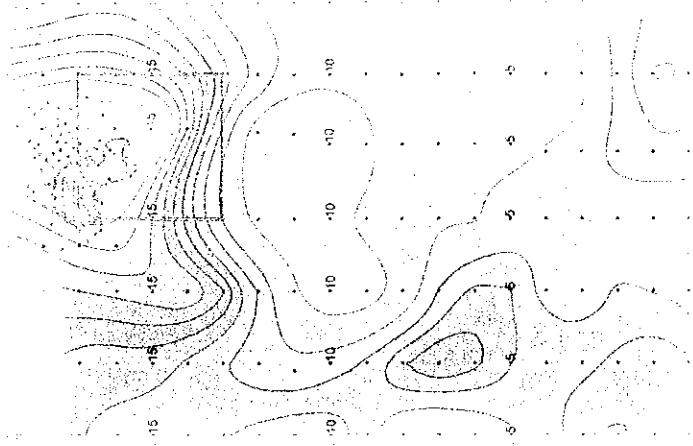
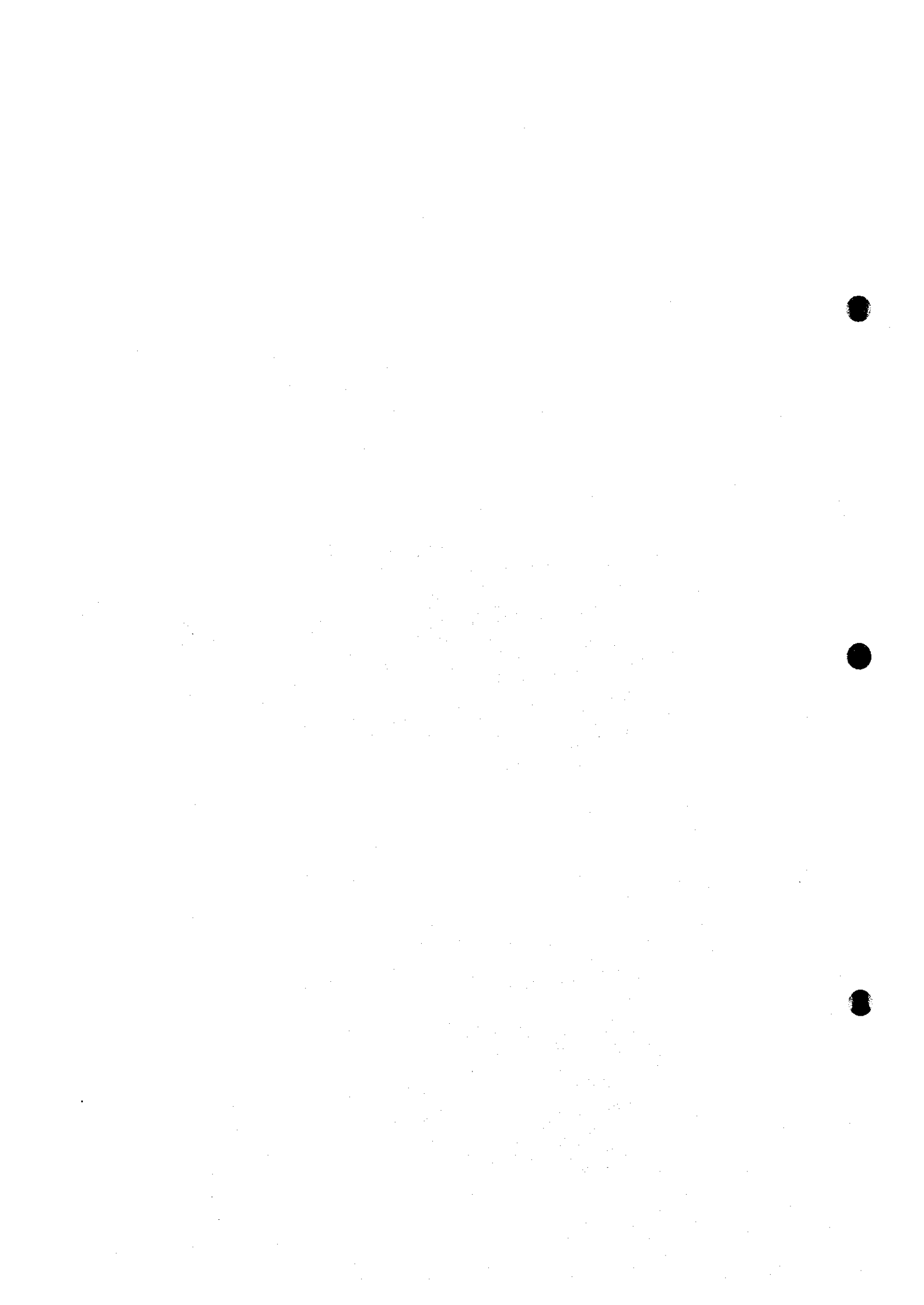


Fig. H-5-18(1) 2D analysis plane maps in Rakah Mire area at 250m depth





ある。2次元解析の断面図では、ストックワーク鉱が確認されている箇所では15~20mV/Vの高い値を示している。また、測点1500N, 1600Nの深部には20mV/V以上の分極率異常が認められ、大規模なストックワーク鉱が存在する可能性が考えられる。

5-5-2 クルン・アル・アクバブ地区

クルン・アル・アクバブ地区のTDIP平面図をFig. II-5-19に、2次元解析断面図及び平面図をそれぞれFig. II-5-20, 21に示す。

測線2800E, 3000Eの1600N付近を中心にして低比抵抗・高分極率のTDIP異常が捕捉された。見掛比抵抗は浅部(N=1)で東西200m, 南北100mの範囲で低比抵抗を示しており、深部になるにしたがってその規模は小さくなり、値も高くなっている。分極率もN=1で強い異常を示しているが、その範囲は低比抵抗の範囲よりも広く、東西300m, 南北200m程度の広がり分布している。深部になるにつれて規模は小さくなるものの、値は20mV/V以上の高い値を示している。N=1での分極率異常の中心は測点1600N付近であるが、N=4では約200m南方へシフトして測点1400N付近になっている。塊状硫化物鉱床の存在が期待されたため、TEM法調査が実施された。

後述するTEM法調査の結果をふまえて実施されたボーリング調査では塊状硫化物鉱床ではなくストックワーク鉱が捕捉された。ボーリング調査の結果とTDIP及びTEMの結果を比較したところ、低比抵抗の箇所で見られる顕著な鉱化作用が認められないこと、また高分極率を示している箇所とストックワーク鉱が捕捉された位置がよく一致することから、ストックワーク鉱は高分極率・中~高比抵抗を示すことが判明した。この地区の低比抵抗は鉱化作用によるものではなく、地下水の影響によるものではないかと考えられる。

5-5-3 タウィ・ラカー鉱徴地

タウィ・ラカー鉱徴地周辺のTDIP平面図をFig. II-5-22に、2次元解析断面図及び平面図をそれぞれFig. II-5-20, 23に示す。

測線2800E, 測点900S-1000S付近を中心とした低比抵抗・高分極率異常が認められる。この異常はタウィ・ラカー鉱徴地に対応するものと考えられる。低比抵抗は地表付近に限られているが、高分極率異常は深部まで連続しておりN=2, 3では南にシフトして測点1000S-1100S付近が異常の中心となっている。また、タウィ・ラカー鉱徴地から約300m北方に位置する測線2800E, 測点600Sの深部(N=3,4)に高分極率異常が認められる。比抵抗は高い値を示しているため、ストックワーク鉱の可能性を考えTEM法調査は実施せず、高分極率異常の中心でボーリング調査を実施した。

2次元解析でも低比抵抗・高分極率異常は地表付近に限られる。測線2800E, 測点600Sの深部で捕捉された高分極率異常は2次元解析でも認められるが、その平面的な分布範囲は測線2600E, 測点700S付近まで延びている。擬似断面の測線2800E, 測点1000S-1100Sの深部で見られた高分極率異常は、2次元解析の結果では認められないので地表付近の異常源の影響がハ

